

# PHYSIQUE DES COMPOSANTS SEMI-CONDUCTEURS

VI) Jonction p/n

P.A. Besse

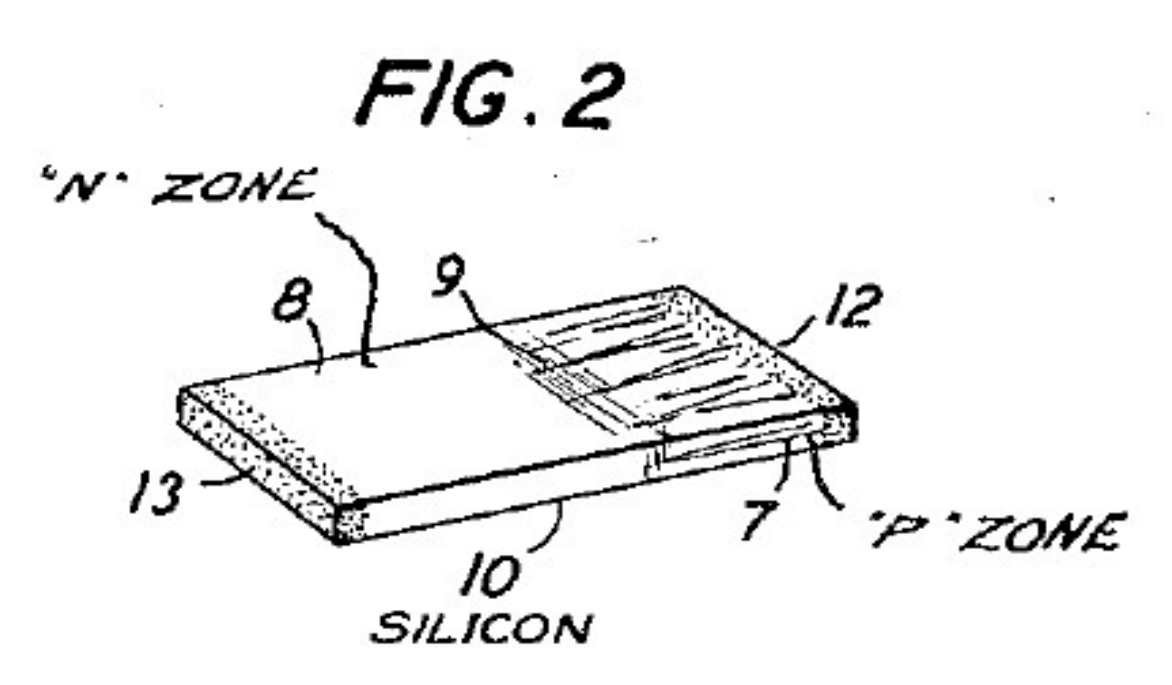
**EPFL** 

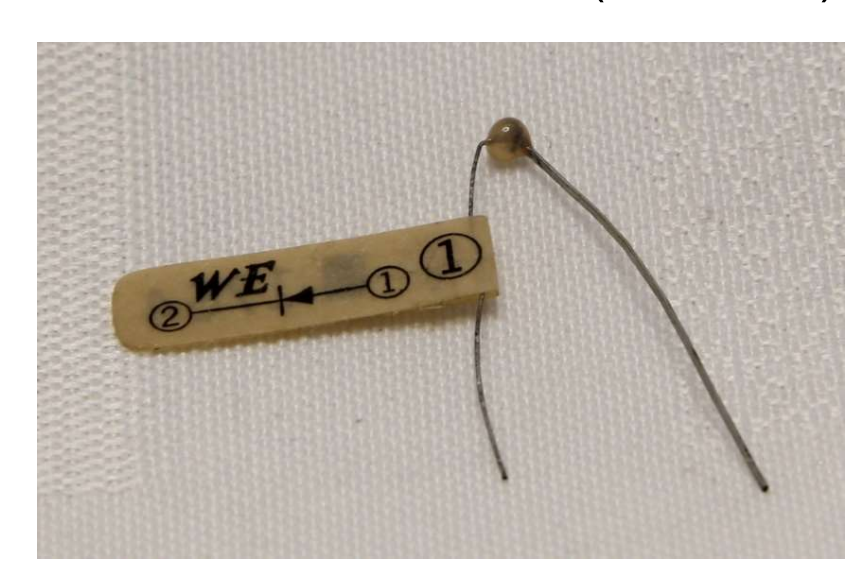


## 1940 - Jonction p/n

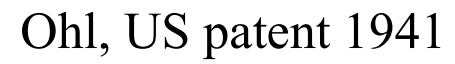
#### Russel Ohl

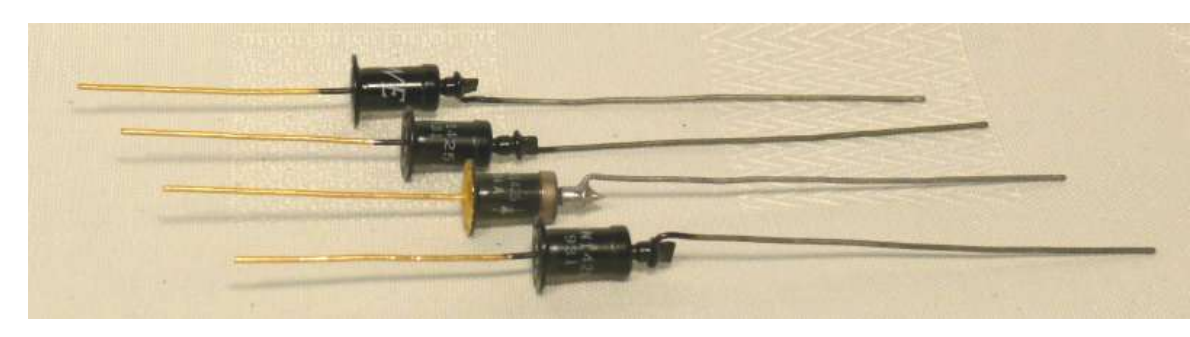
1952: Germanium PN diode (WE 1764)





Germanium PN diode (WE 1N1425)



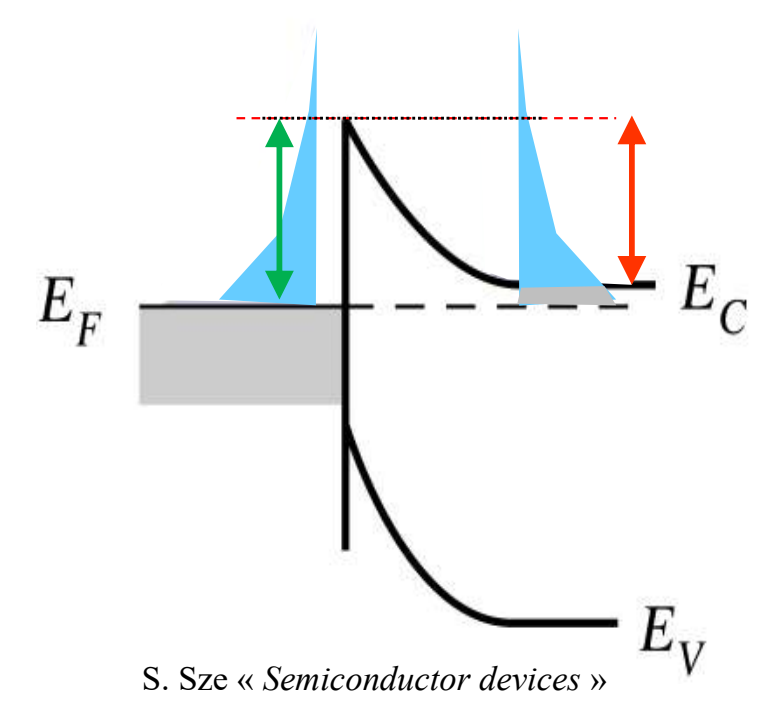




### Jonction Schottky: rappel

## Jonction Schottky: « courant direct »





$$J = J_s \cdot (e^{qV/kT} - 1)$$

- Barrière « petite » ( $\sim$ E<sub>g</sub>/2)  $\rightarrow$  J<sub>s</sub> élevé
- Injection de majoritaire

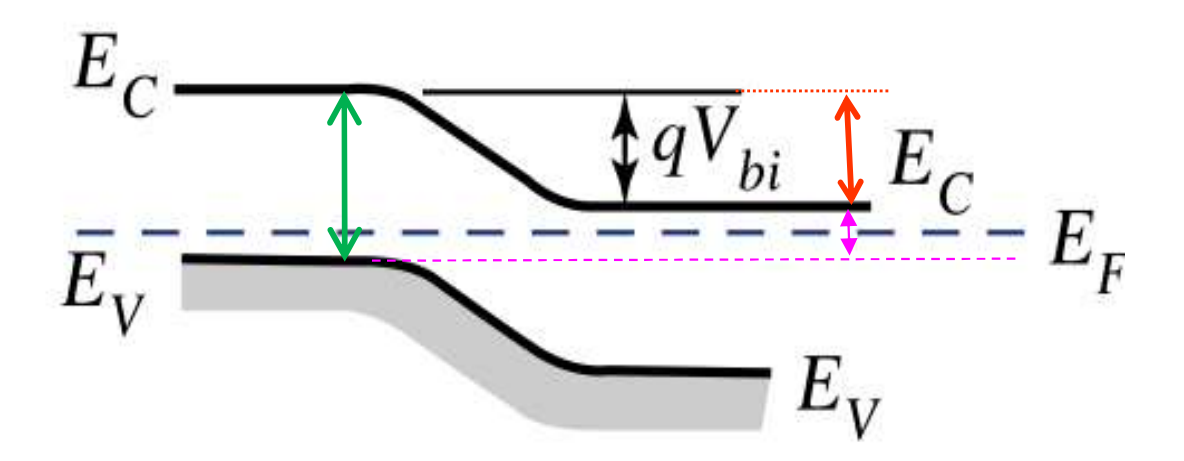
  → « thermalisation »

  vitesse rapide



### Jonction p/n

S. Sze « Semiconductor devices »



- Barrière « élevée » (~E<sub>g</sub>)

→ J<sub>s</sub> petit

- Injection de minoritaires

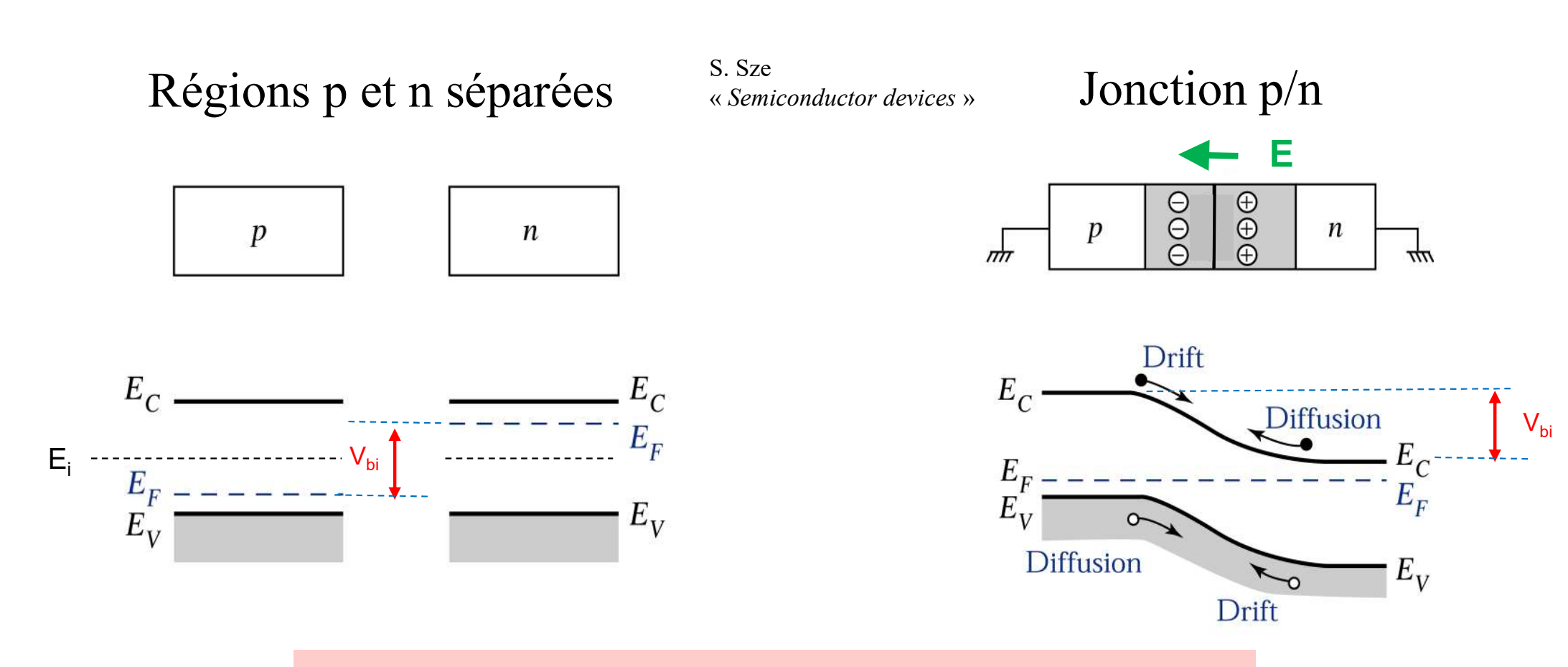
→ « recombinaison »

vitesse lente



P.A. Besse, EPFL

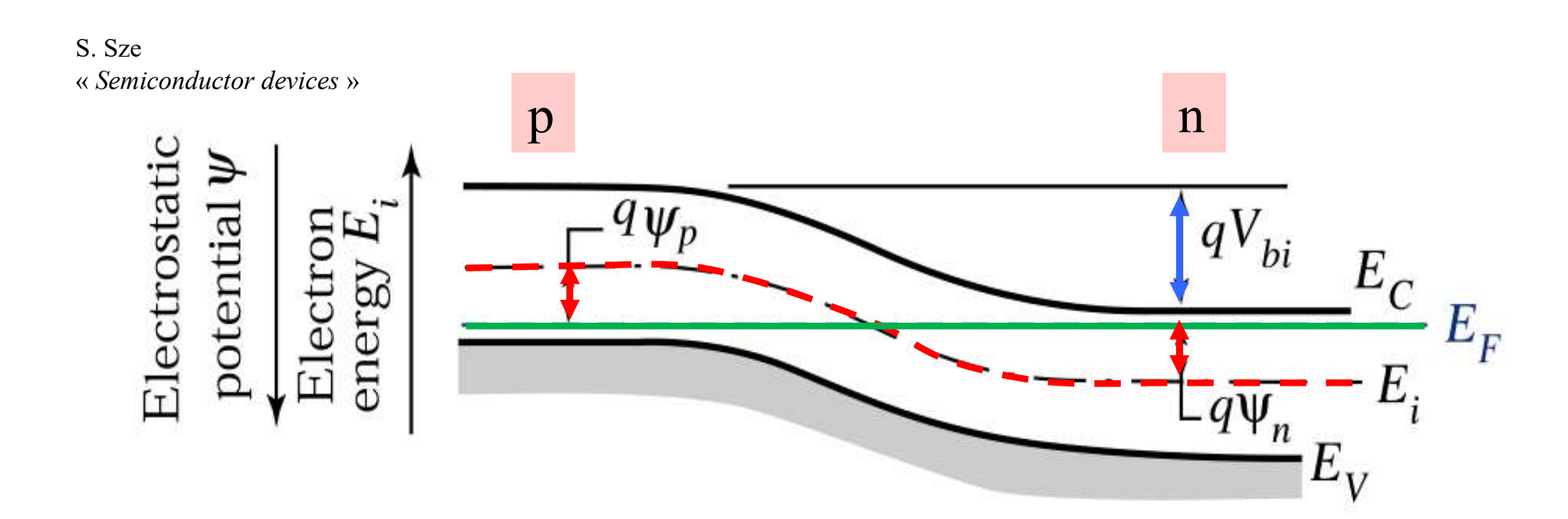
### Jonction p/n à l'équilibre (1)



Le courant de diffusion créé une zone de déplétion. Le champ électrique associé produit un courant de drift et maintient le courant total nul et le niveau de Fermi constant.



### Jonction p/n à l'équilibre: built-in potential

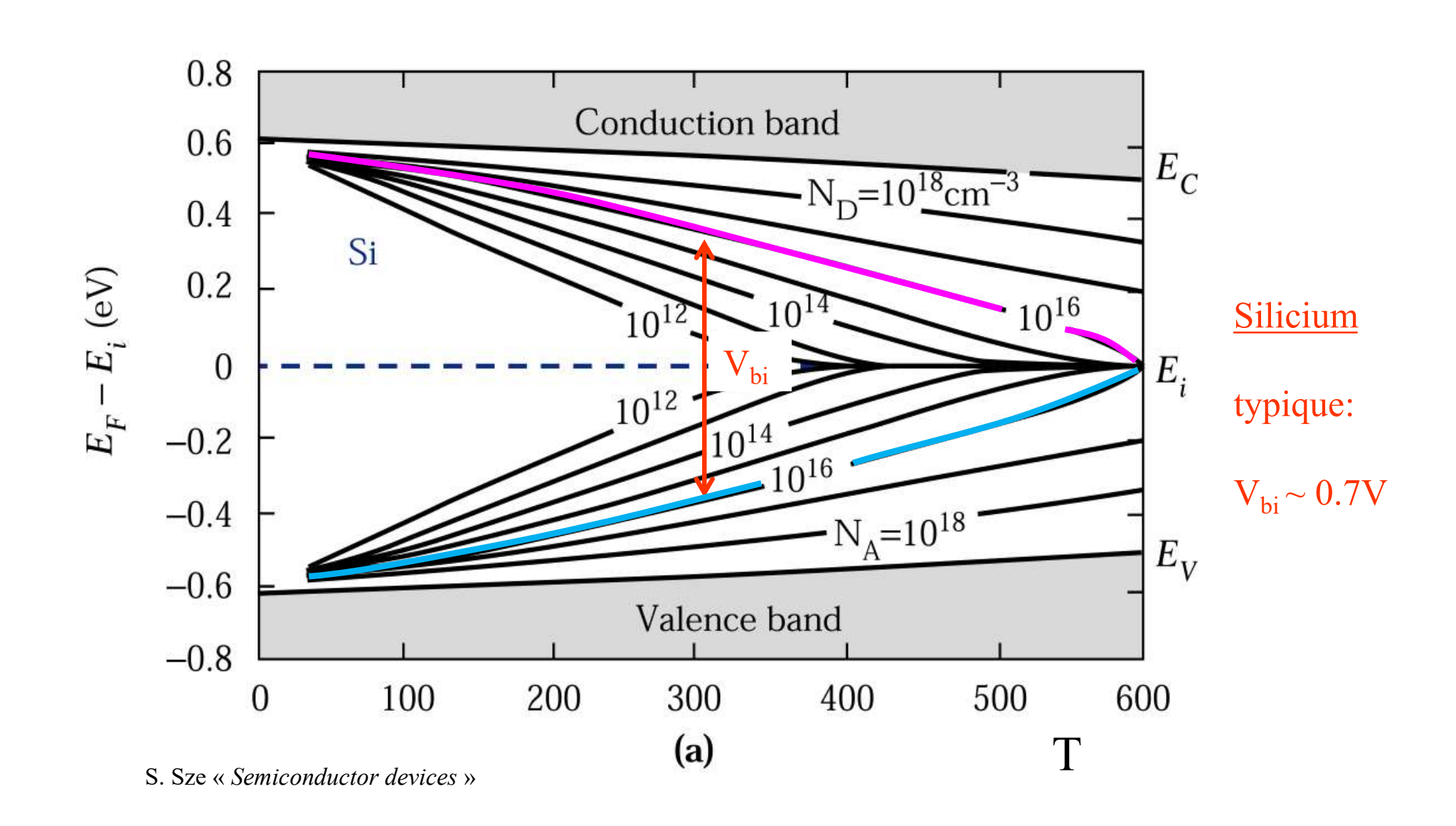


Il n'y a pas de courant à l'équilibre  $\rightarrow$  E<sub>F</sub> est constant Le potentiel interne V<sub>bi</sub> (« built-in ») est donné par:

$$V_{bi} = \left| \psi_p \right| + \left| \psi_n \right| = \frac{kT}{q} \ln \left( \frac{N_A}{n_i} \right) + \frac{kT}{q} \ln \left( \frac{N_D}{n_i} \right) = \frac{kT}{q} \ln \left( \frac{N_A N_D}{n_i^2} \right)$$

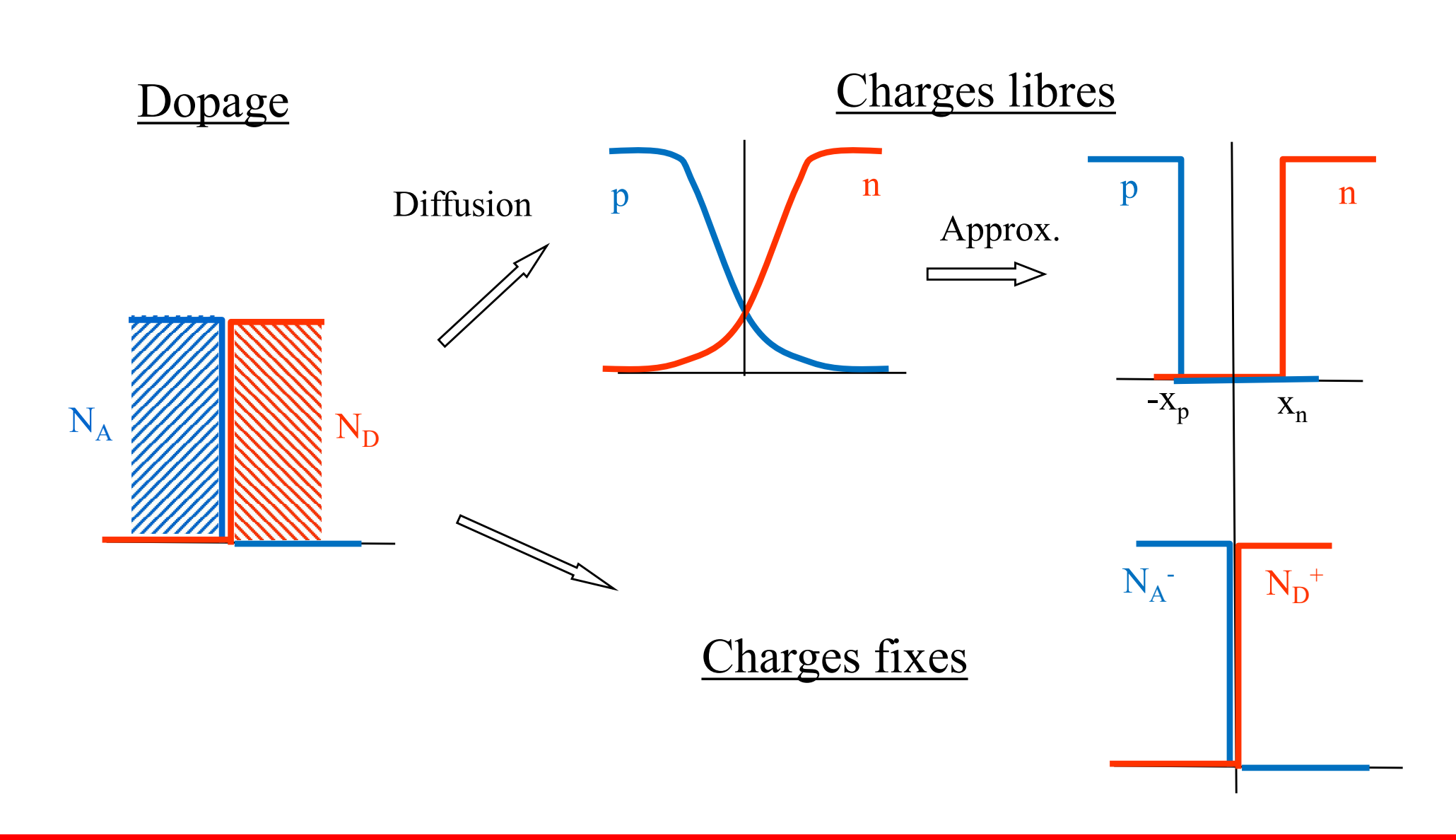


#### Potentiel de built-in



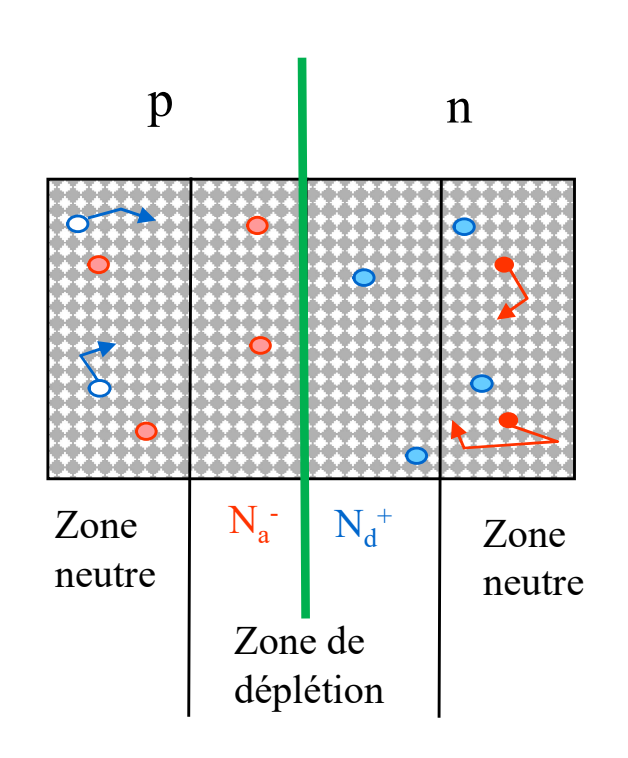


# Approximation: «déplétion totale»





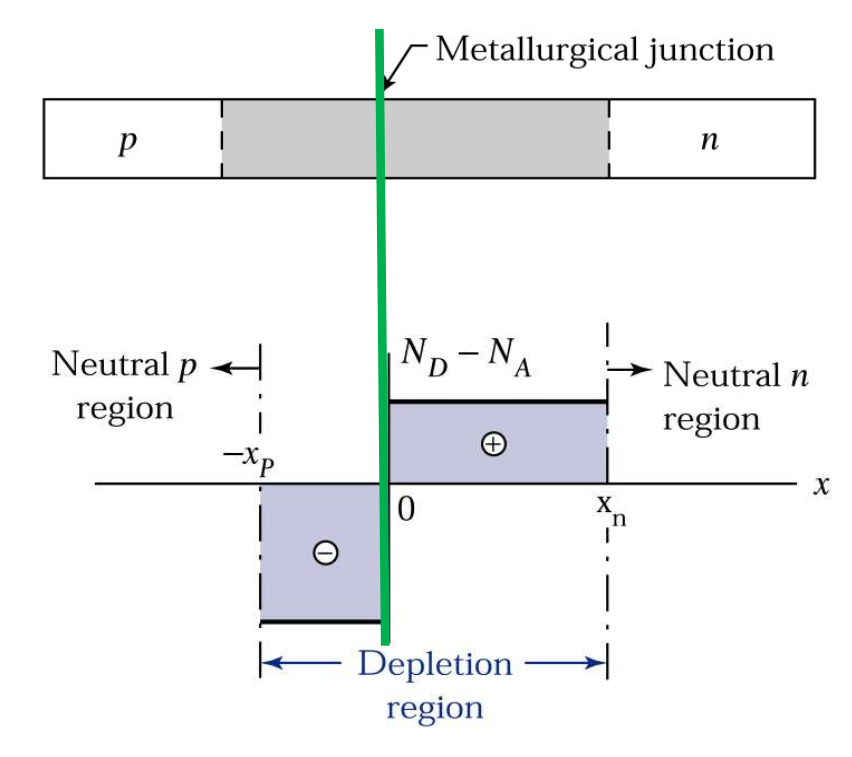
### Jonction p/n à l'équilibre: zone de déplétion



Les charges libres majoritaires diffusent.

Les charges fixes restent.

S. Sze « Semiconductor devices »

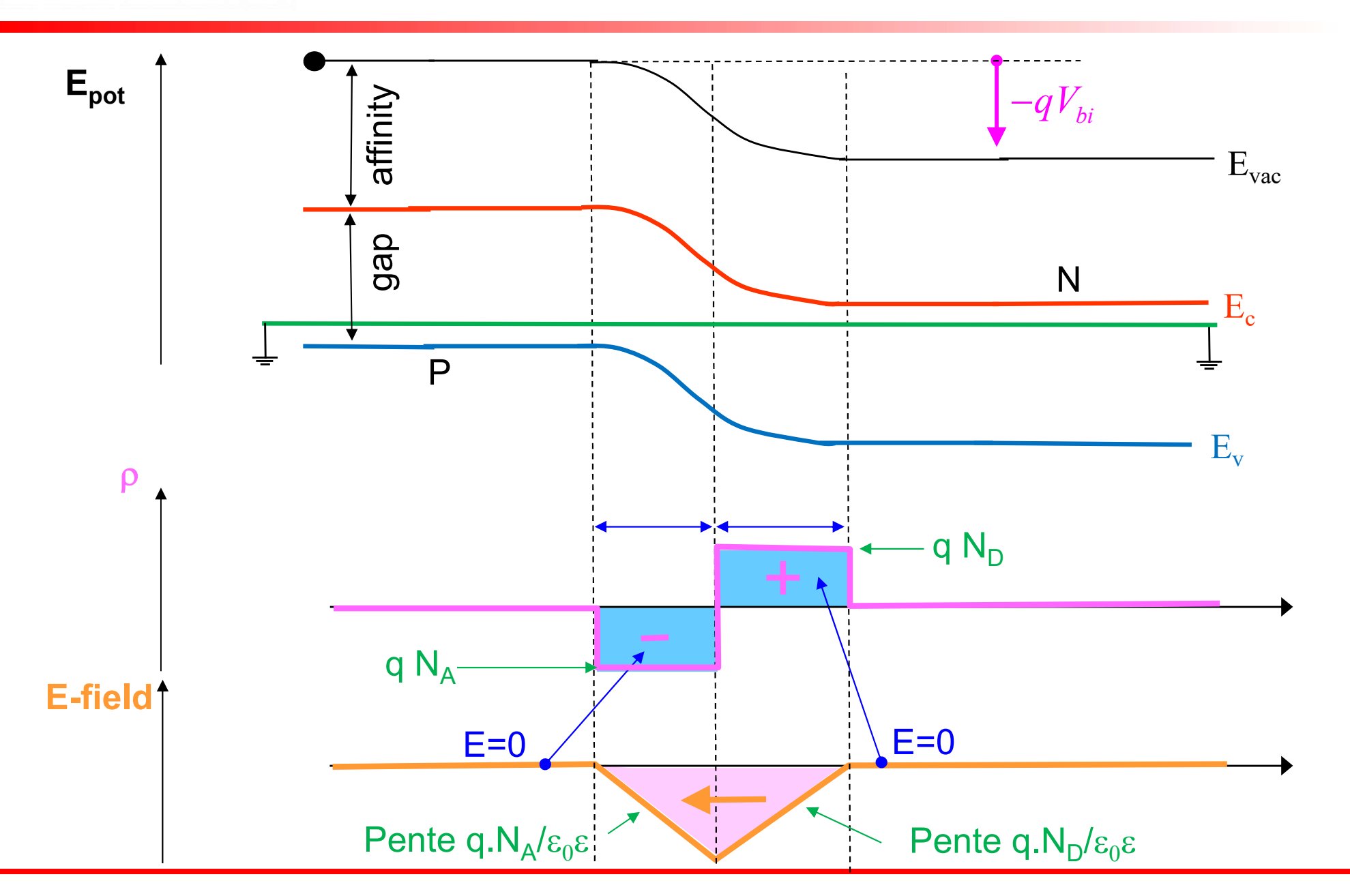


Approx.: profil de charge rectangulaire

- → Densité de charge donnée par le dopage!
- $\rightarrow$  Deux paramètres:  $x_p$  et  $x_n$



#### Schéma de bande diode PN





### Largeur W de la zone de déplétion

1) somme des charges négatives = somme des charges positives

$$x_n \cdot N_D = x_p \cdot N_A$$
  $\Rightarrow$   $x_n + x_p = W = x_n \cdot \left(\frac{N_A + N_D}{N_A}\right)$ 

(2) Croissance constante du champ électrique (de la droite au centre du graphique)

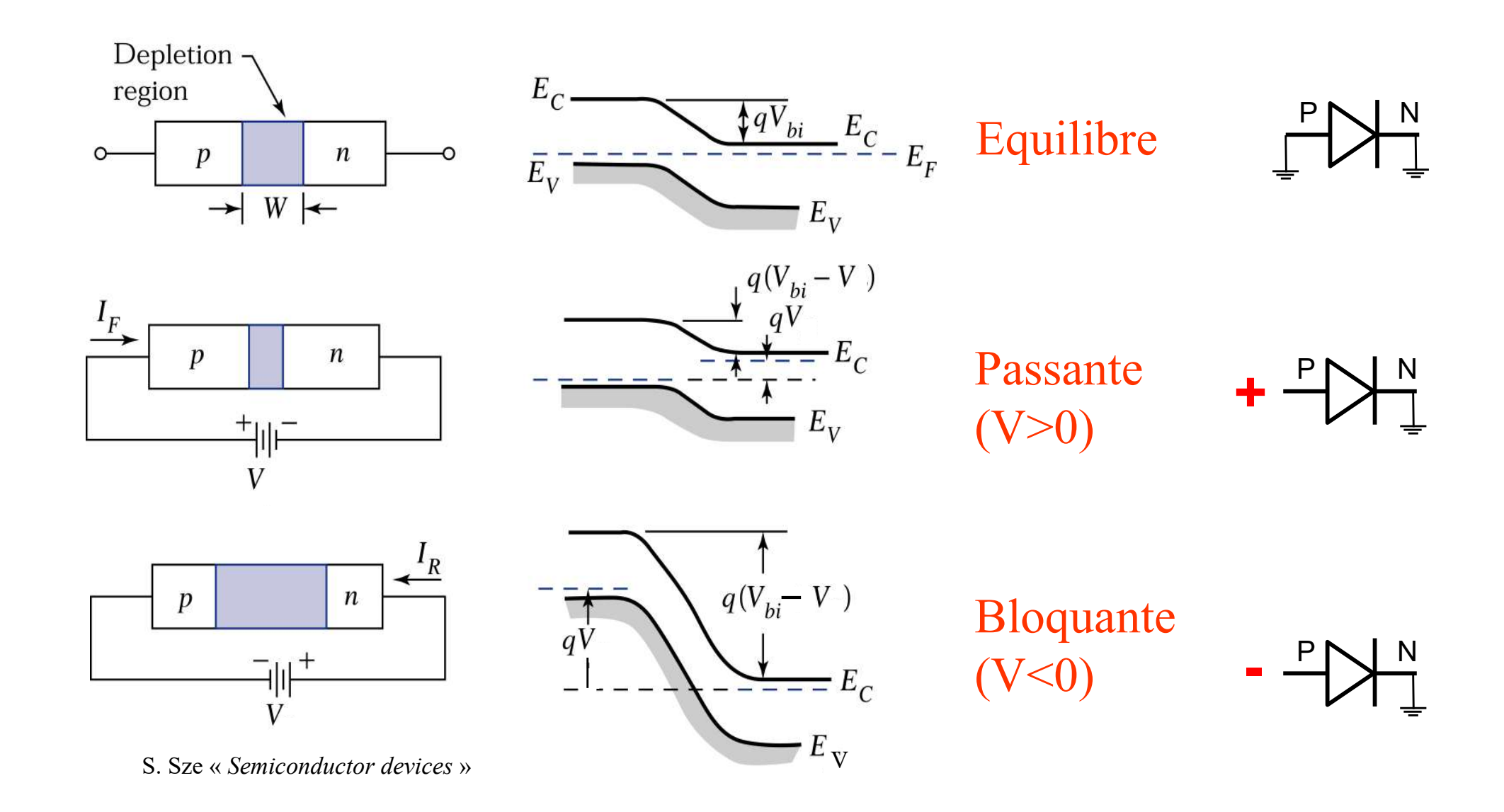
$$|E_{\text{max}}| = \frac{qN_D}{\varepsilon_0 \varepsilon} \cdot x_n = \frac{qN_D}{\varepsilon_0 \varepsilon} \cdot \frac{N_A}{N_A + N_D} \cdot W$$

Surface du triangle = V<sub>bi</sub>

$$V_{bi} = \frac{1}{2} \cdot \left| E_{\text{max}} \right| \cdot W = \frac{q}{2\varepsilon_0 \varepsilon} \cdot \frac{N_D \cdot N_A}{N_A + N_D} \cdot W^2 \qquad \Rightarrow \qquad W = \sqrt{\frac{2\varepsilon_0 \varepsilon}{q} \cdot \frac{N_A + N_D}{N_D \cdot N_A}} \cdot V_{bi}$$



#### Jonction p/n hors équilibre: bandes





# Jonction p/n abrupte hors équilibre: solutions

Le champ électrique aux extrémités est négligeable

→ les solutions sont similaires au cas à l'équilibre.

$$x_{p} = \sqrt{\frac{2\varepsilon_{0}\varepsilon}{q \cdot N_{A}} \frac{N_{D}}{N_{A} + N_{D}} \cdot (V_{bi} - V)}$$

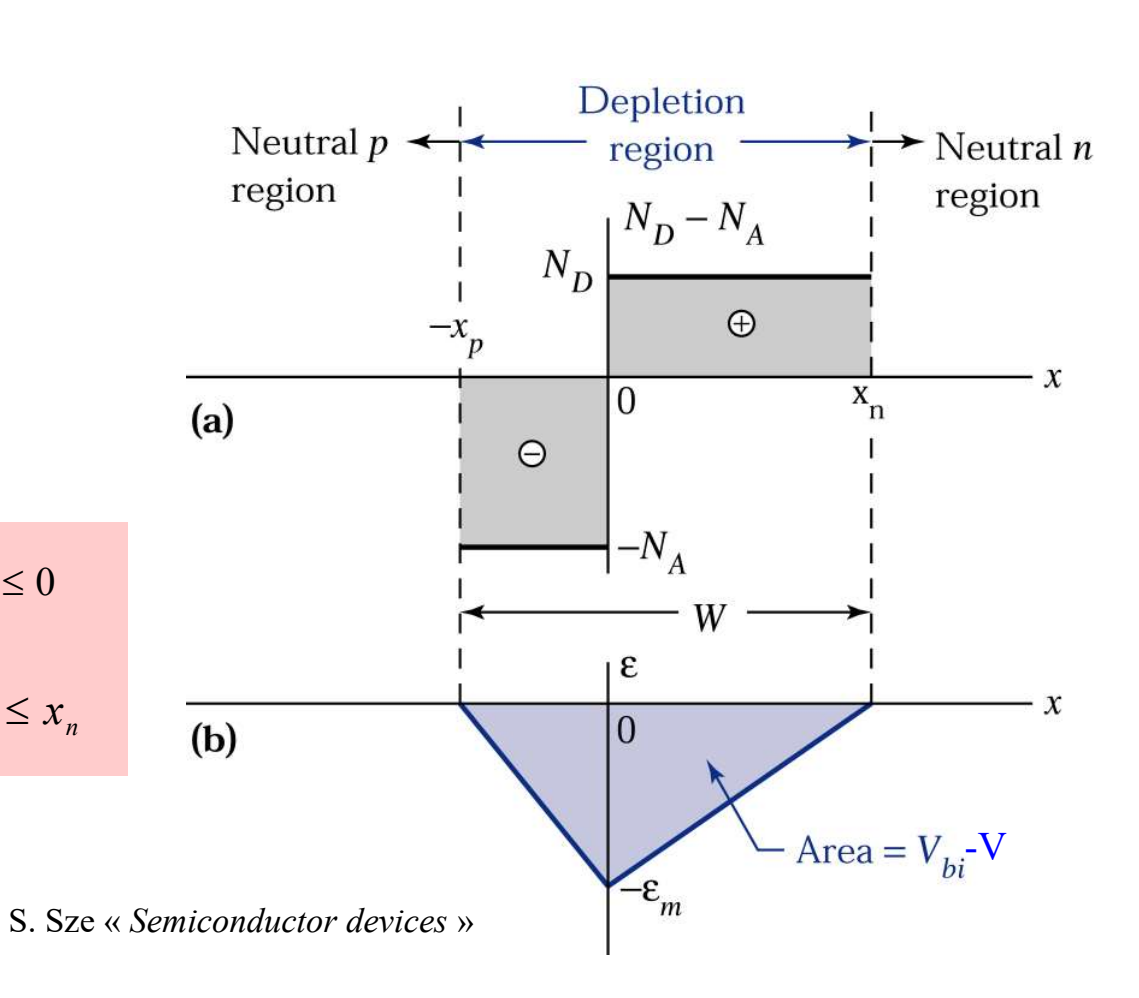
$$x_{n} = \sqrt{\frac{2\varepsilon_{0}\varepsilon}{q \cdot N_{D}} \frac{N_{A}}{N_{A} + N_{D}} \cdot (V_{bi} - V)}$$

$$W = \sqrt{\frac{2\varepsilon_0\varepsilon}{q} \cdot \frac{N_A + N_D}{N_A N_D} \cdot (V_{bi} - V)}$$

$$E(x) = -\frac{qN_A}{\varepsilon_0 \varepsilon} (x_p - |x|) \qquad pour \quad -x_p \le x \le 0$$

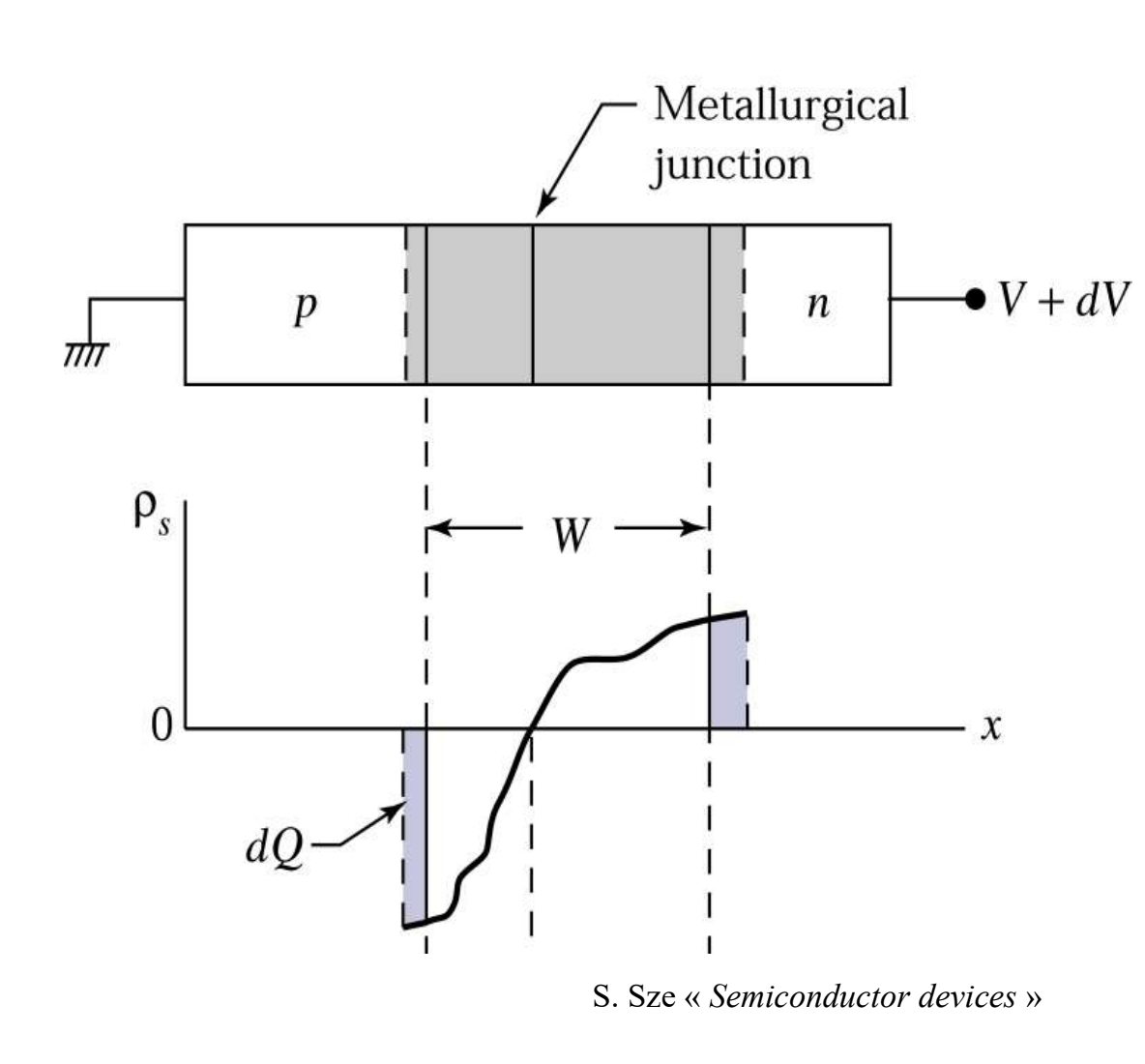
$$E(x) = -\frac{qN_D}{\varepsilon_0 \varepsilon} (x_n - |x|) \qquad pour \quad 0 \le x \le x_n$$

$$-q\psi(x) = -q\psi_{left} + q\int_{-x_p}^{x_n} E(x)dx$$





# Jonction p/n hors équilibre: capacité de jonction



- a) Tension appliquée: V
- b) Charge accumulée sur une surface A:

$$Q = q N_D x_n A$$

c) Capacité par surface:

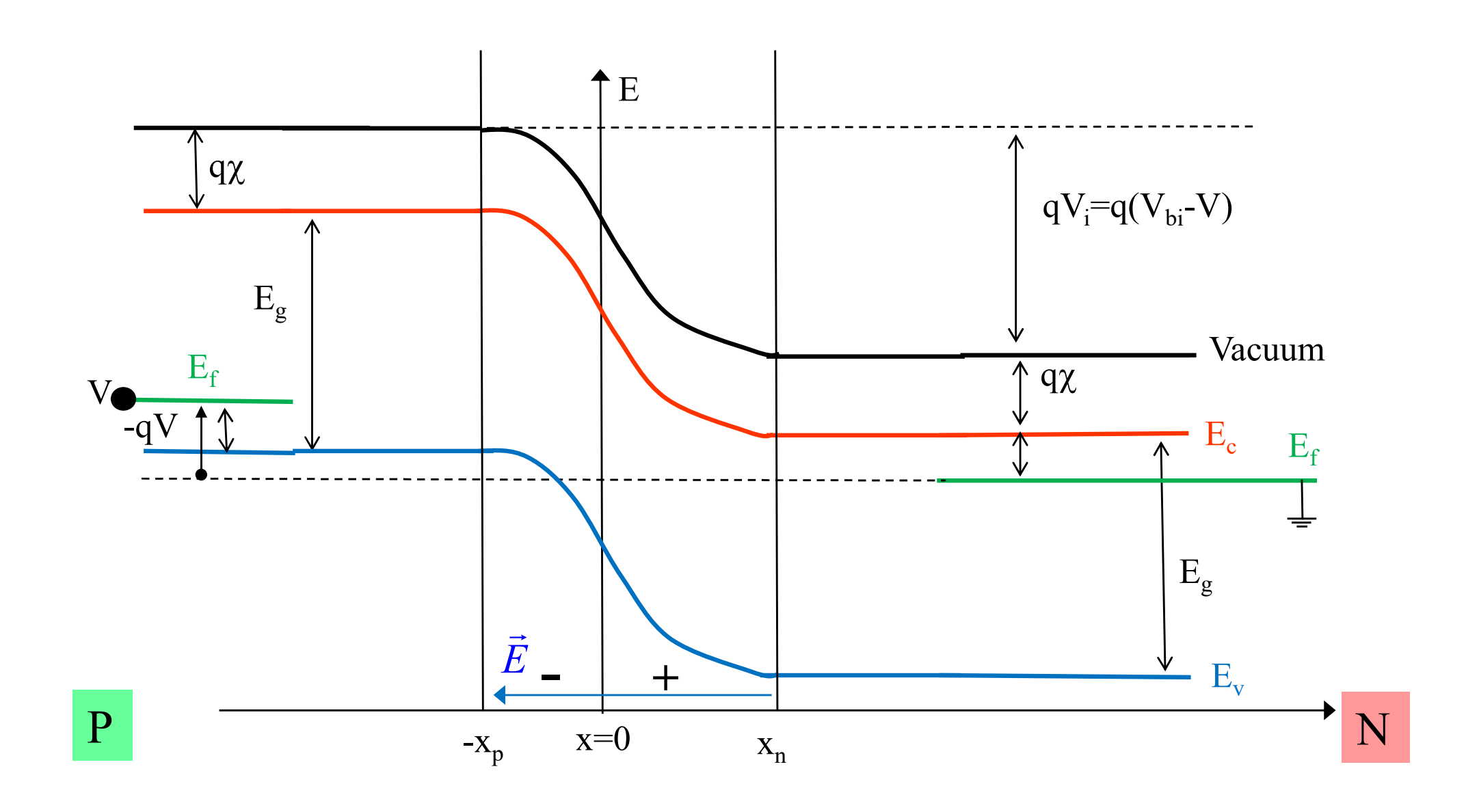
$$C_{j} = \left| \frac{dQ}{dV} \right|$$

$$\downarrow$$

$$C_{j} = A \cdot \frac{\mathcal{E}_{0}\mathcal{E}}{W}$$



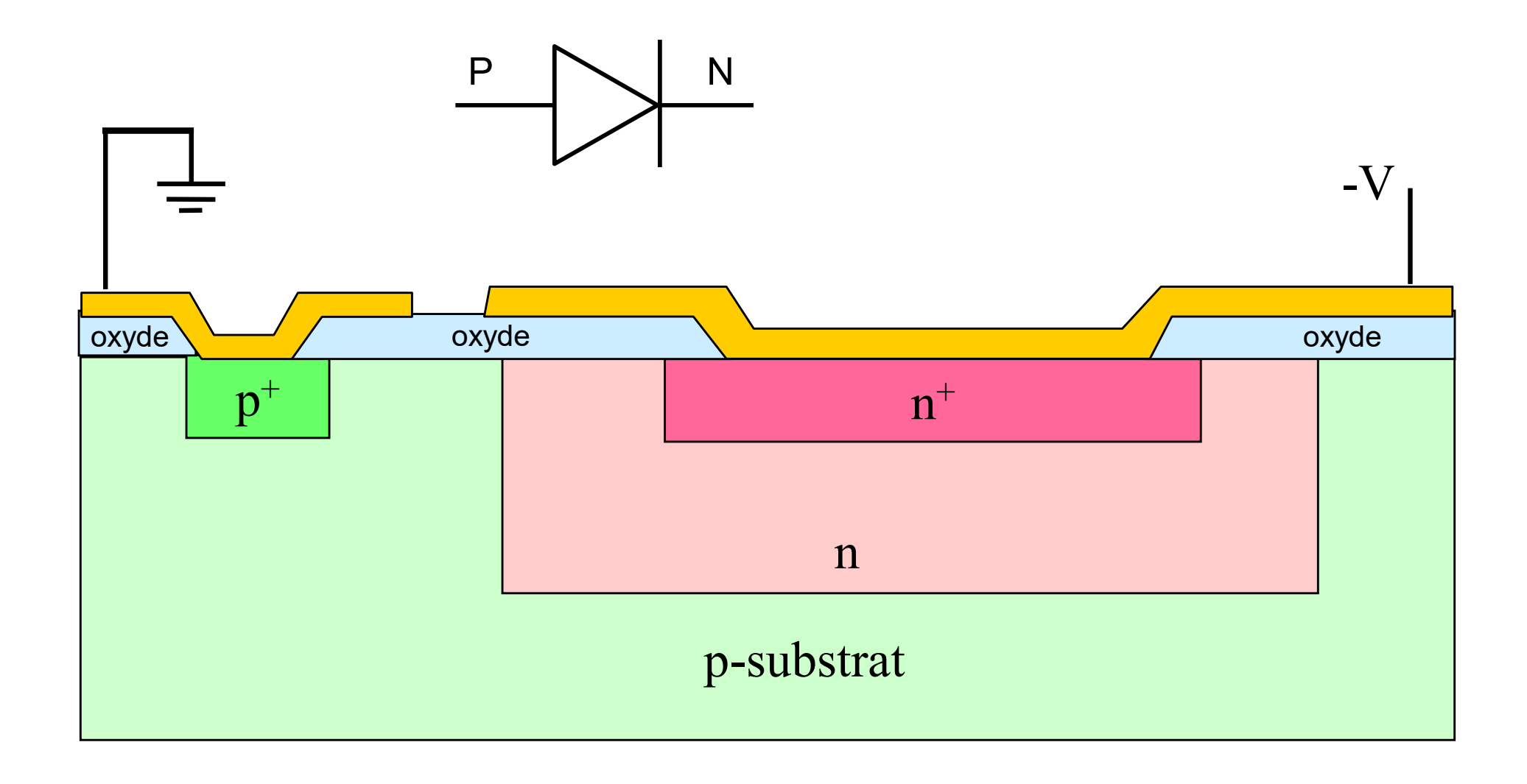
### Schéma de bande p/n: résumé (2)





### Diode p/n avec contacts ohmiques



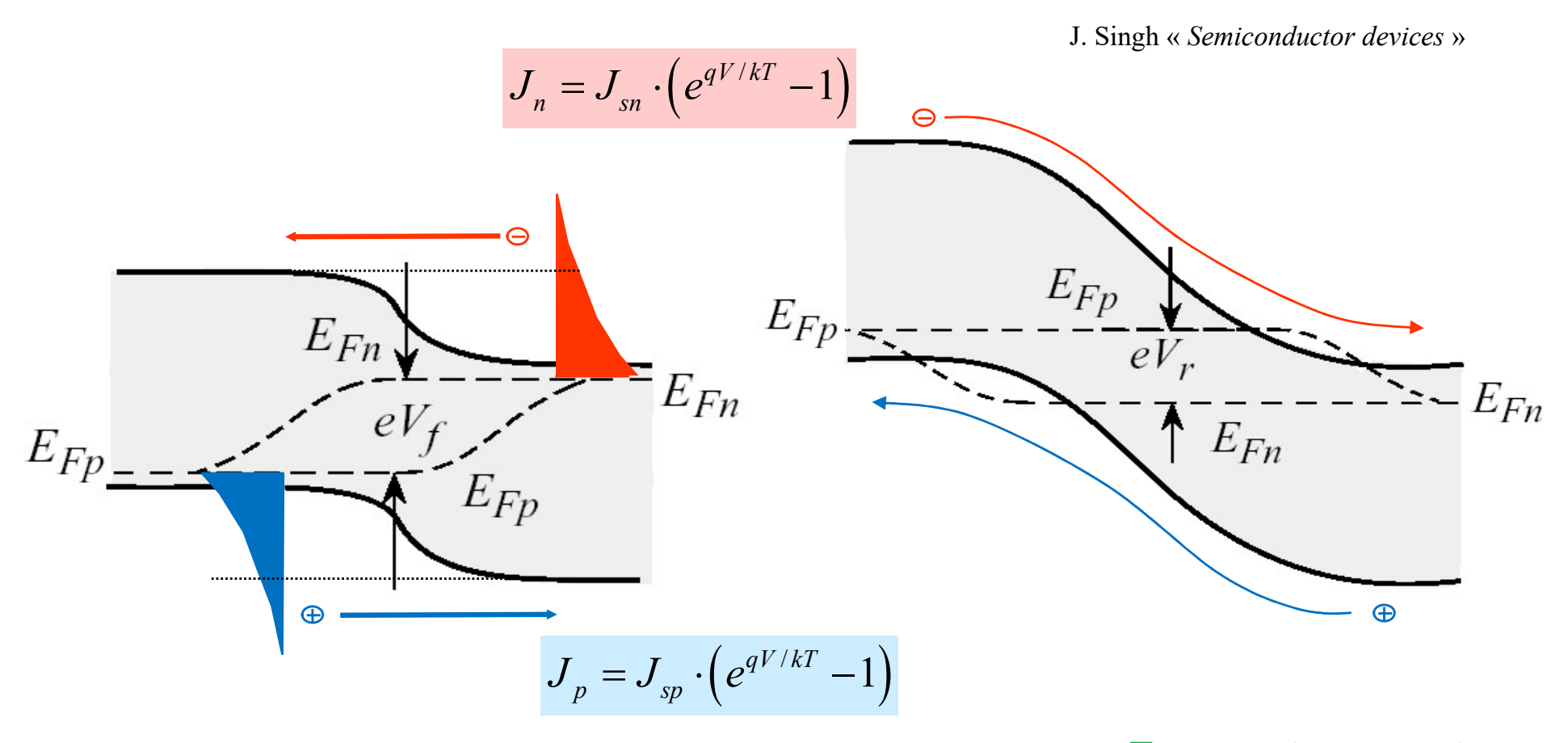




# Interprétation «naive» des courants: simple thermo-émission

**Passante Injection** de minoritaires

**Bloquante** Extraction de minoritaires



Mais: injection de minoritaires → accumulation



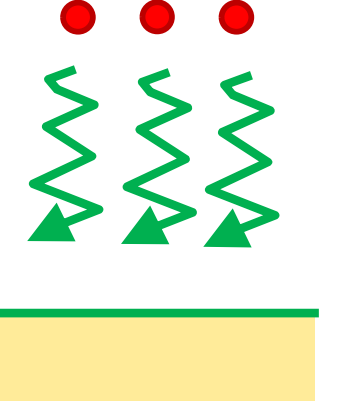
Zones et courants de diffusion



### Retour à l'équilibre: Thermalisation et/ou recombinaison

#### <u>Métal</u>

#### Injection de porteurs

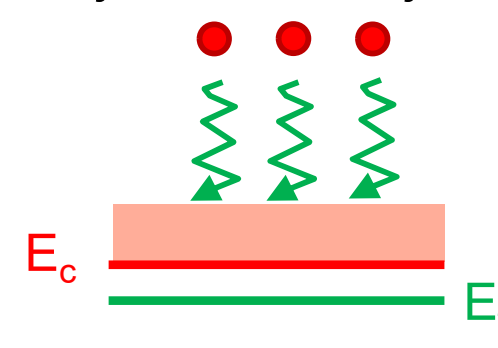


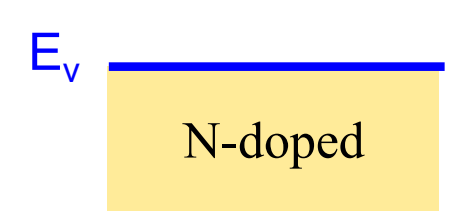


- Temps de thermalisation
- Retour à l'équilibre
- Processus rapide

#### **Semiconducteurs**

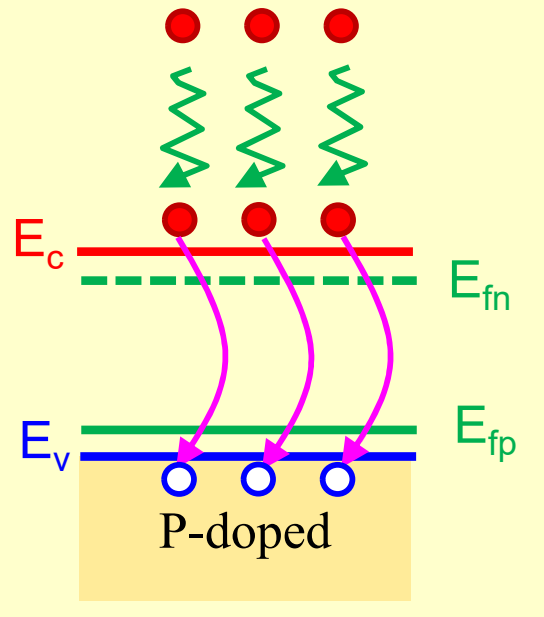
Injection de majoritaires





- Temps de thermalisation
- Retour à l'équilibre
- Processus rapide

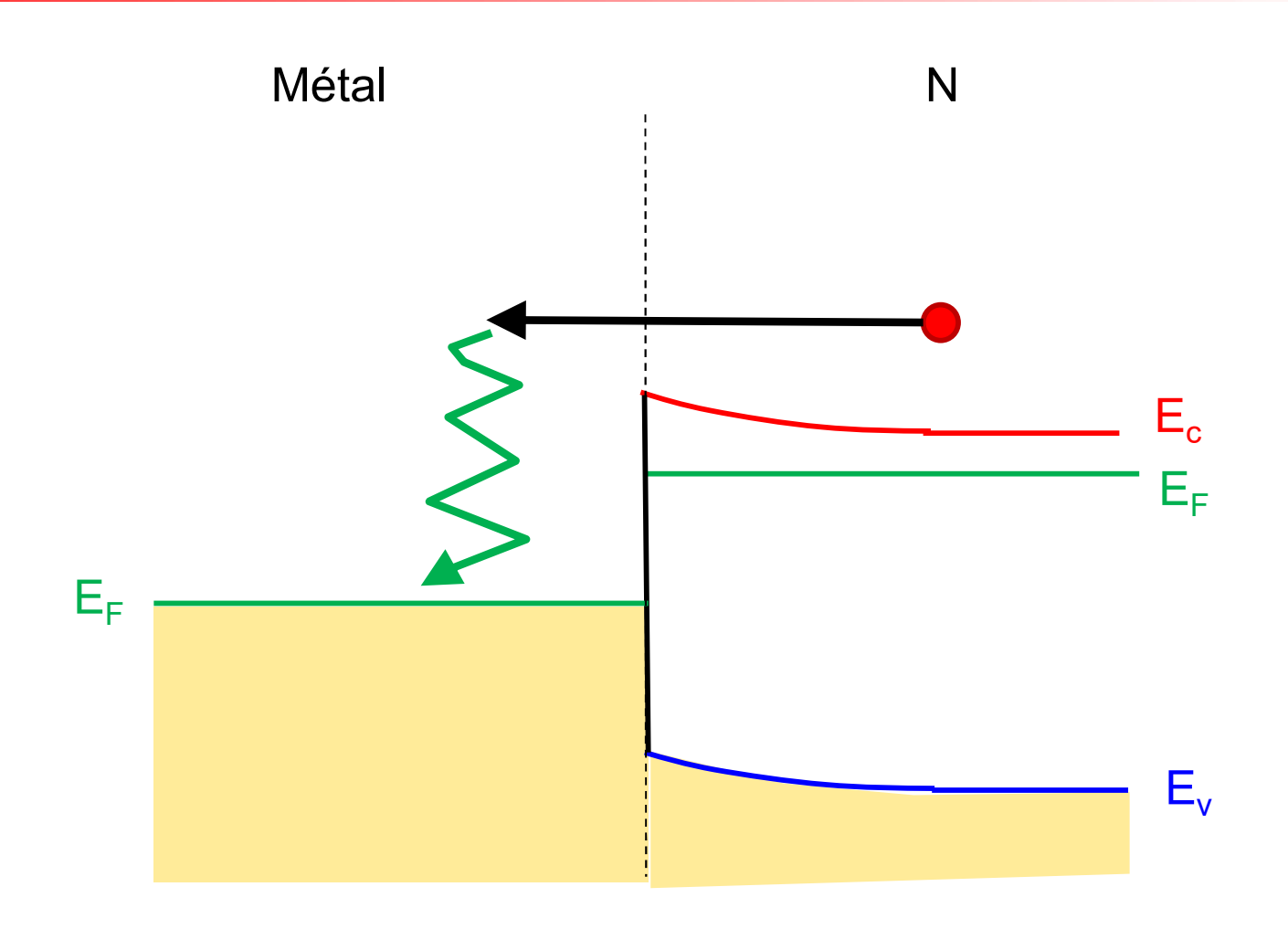
Injection de minoritaires



- Temps de thermalisation
- quasi-équilibre (E<sub>fn</sub>>E<sub>fp</sub>)
- Recombinaison  $(\tau_m)$
- Equilibre final
- Processus lent



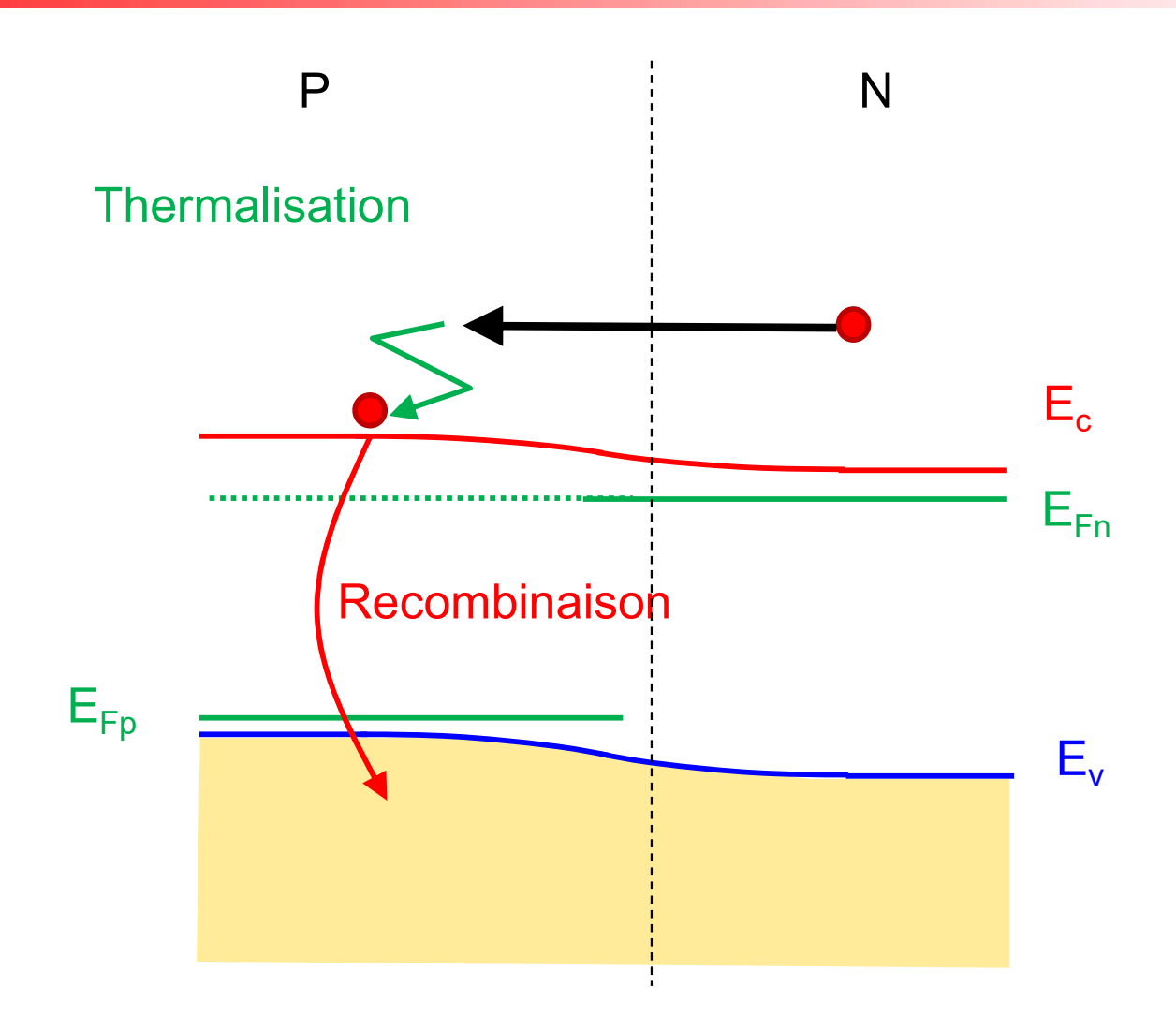
#### Thermalisation et diode Schottky



### La thermalisation est quasi «instantanée»



# Temps de vie des minoritaires et diode PN



La recombinaison détermine le temps de vie des minoritaires



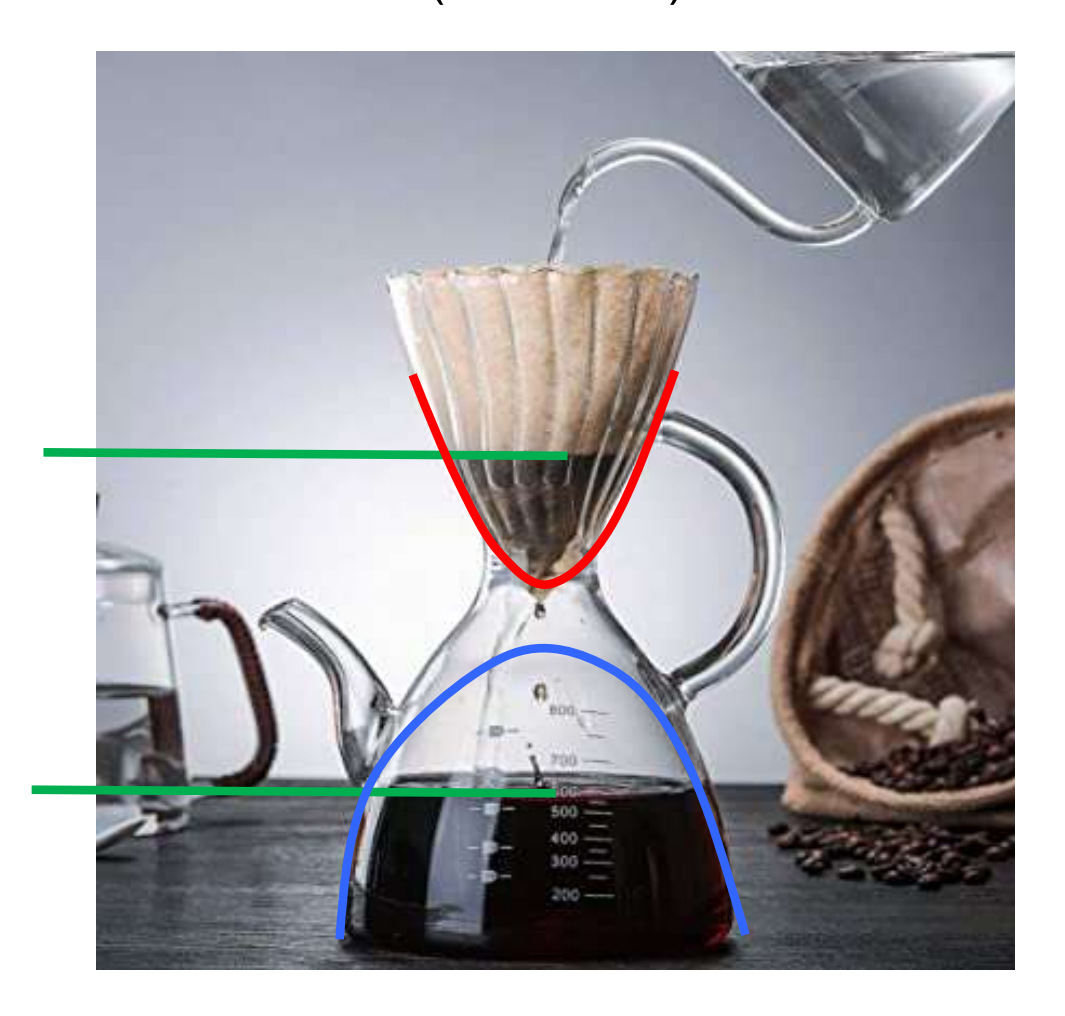
#### Thermalisation / Recombinaison

Injection de majoritaires (Diode Schottky)



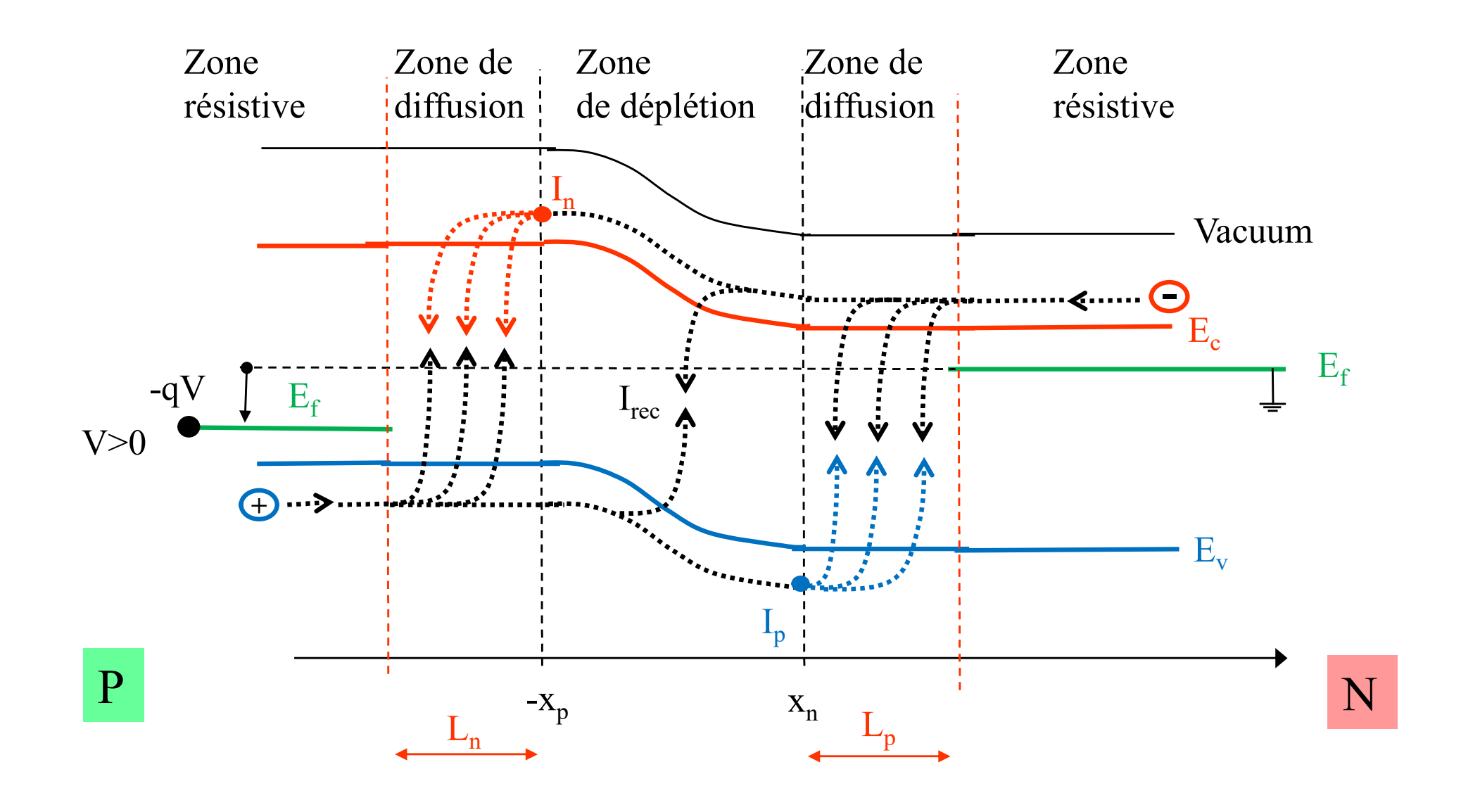
Lac de majoritaires

Injection de minoritaires (Diode PN)



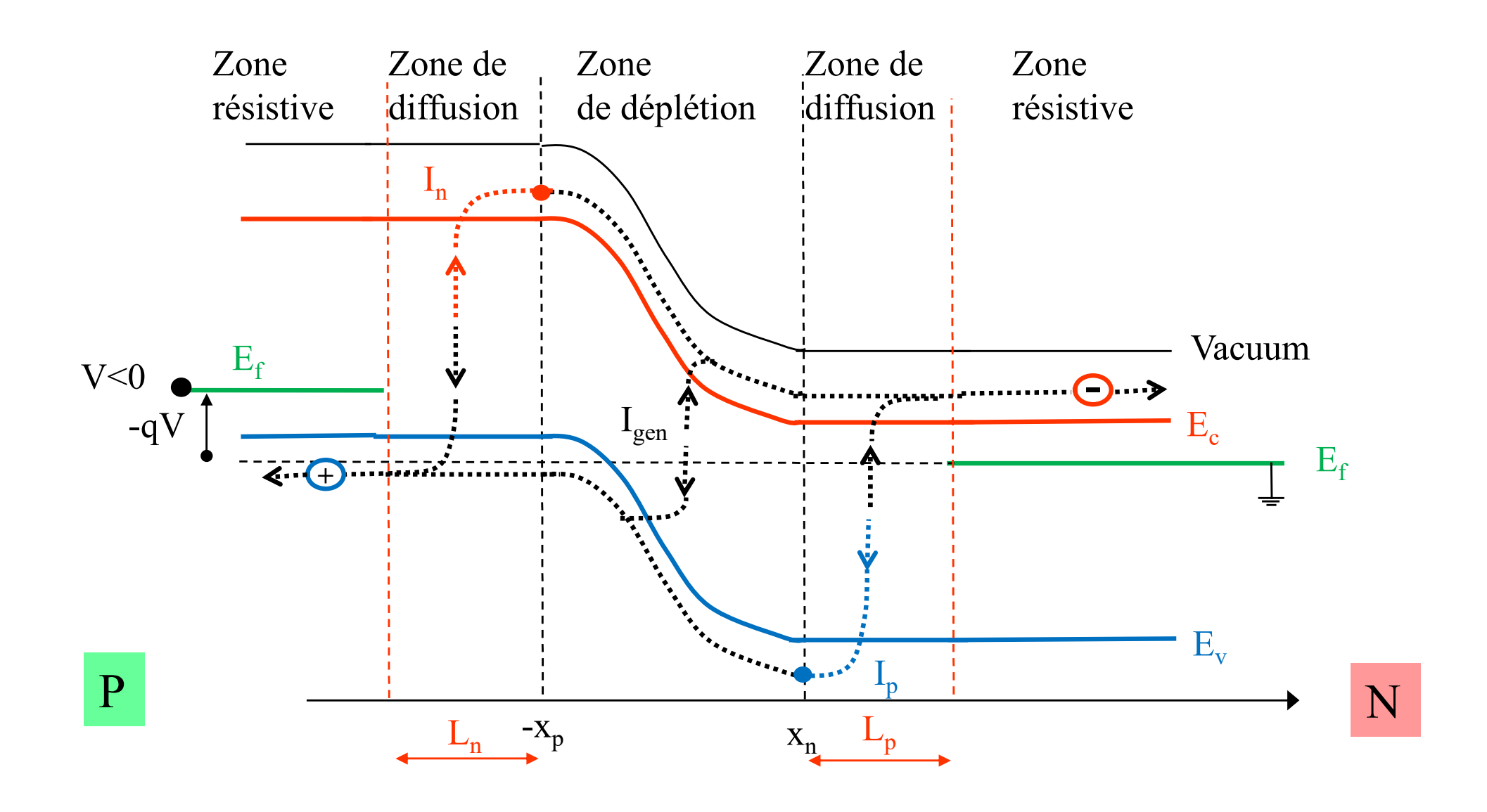


### Courants en polarisation passante





### Courants en polarisation bloquante





#### Diode idéale

Diode idéale: la génération/recombinaison dans la zone

de déplétion est négligeable

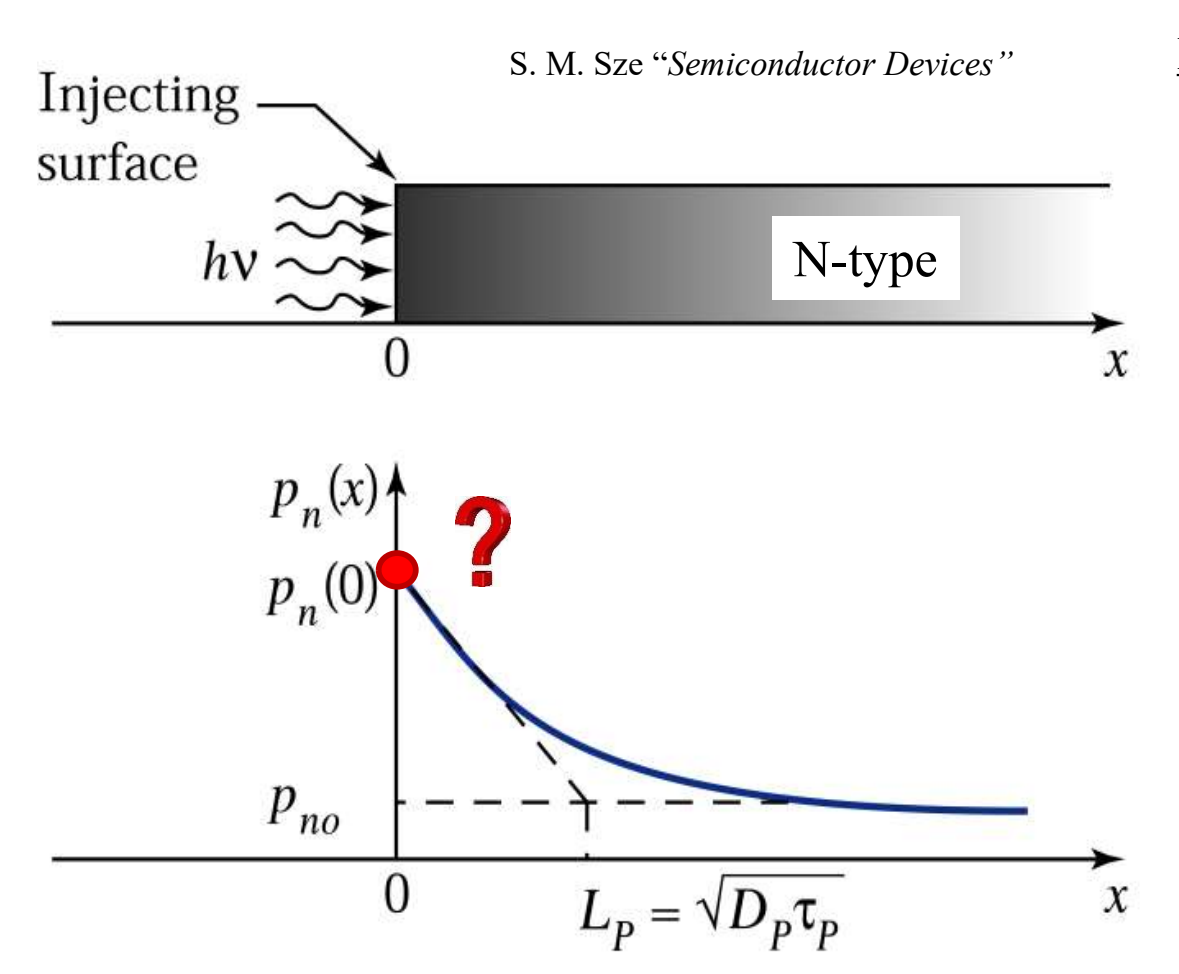
→ Il suffit de calculer l'injection de minoritaires

#### Etapes du calcul des courants idéaux:

- Approximation de la densité de minoritaires au bord des zones de diffusion
- Distribution des minoritaires dans les zones de diffusion
- Le courant de diffusion est le gradient de la densité des minoritaires



# Rappel du chapitre 4: longueur de diffusion



Typique: L [µm - mm]

#### Minoritaires

$$\frac{\partial p_n}{\partial t} = -\frac{p_n - p_{n0}}{\tau_p} + D_p \cdot \nabla^2 p_n = 0$$

$$\implies \frac{\partial^2}{\partial x^2} \Delta p = \frac{1}{D_p \tau_p} \cdot \Delta p$$

#### Solution:

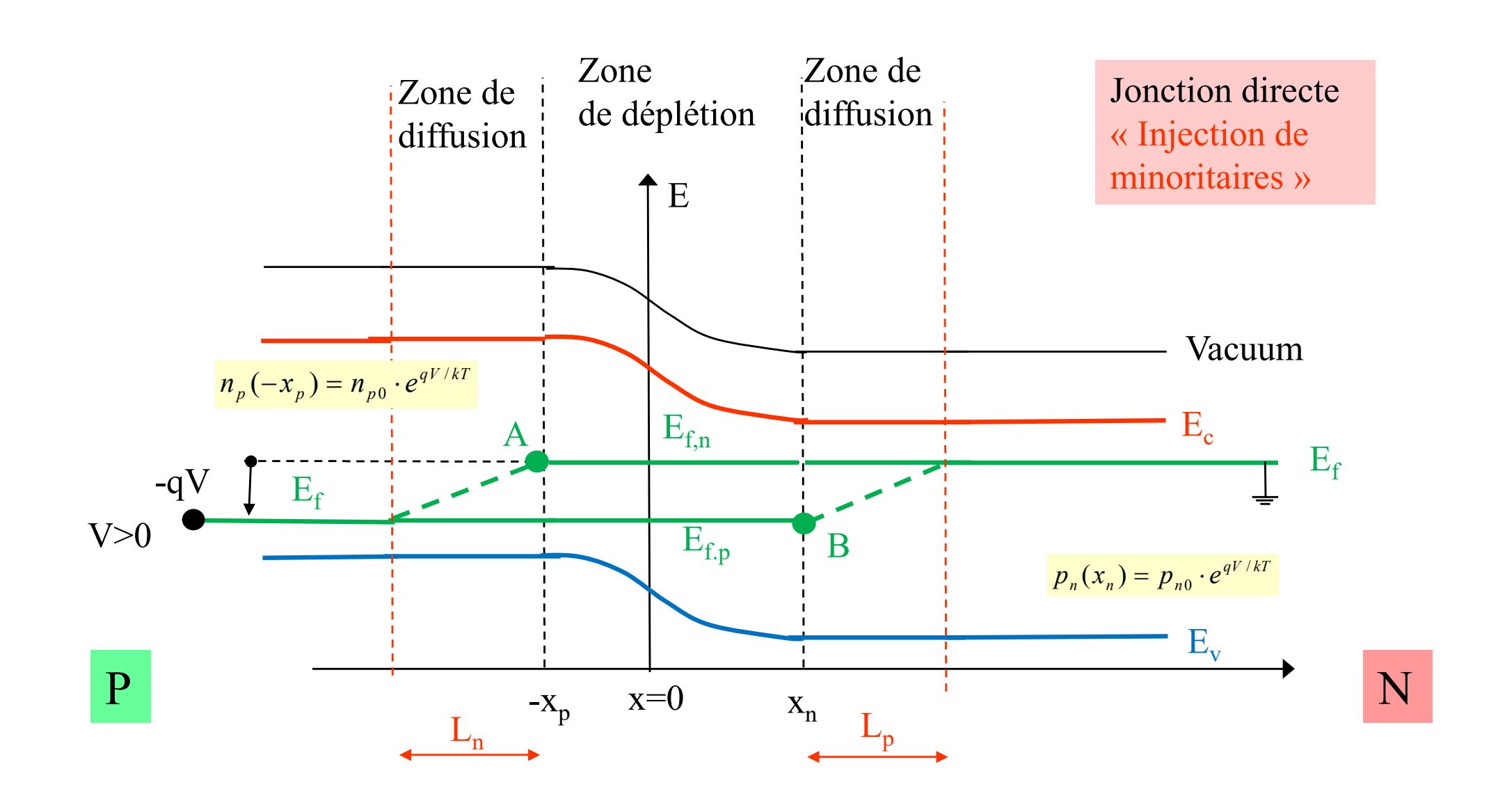
$$\Delta p = \Delta p_0 \cdot Exp\left(-x/L_p\right)$$

#### Longueur de diffusion:

$$L_p \equiv \sqrt{D_p \tau_p}$$

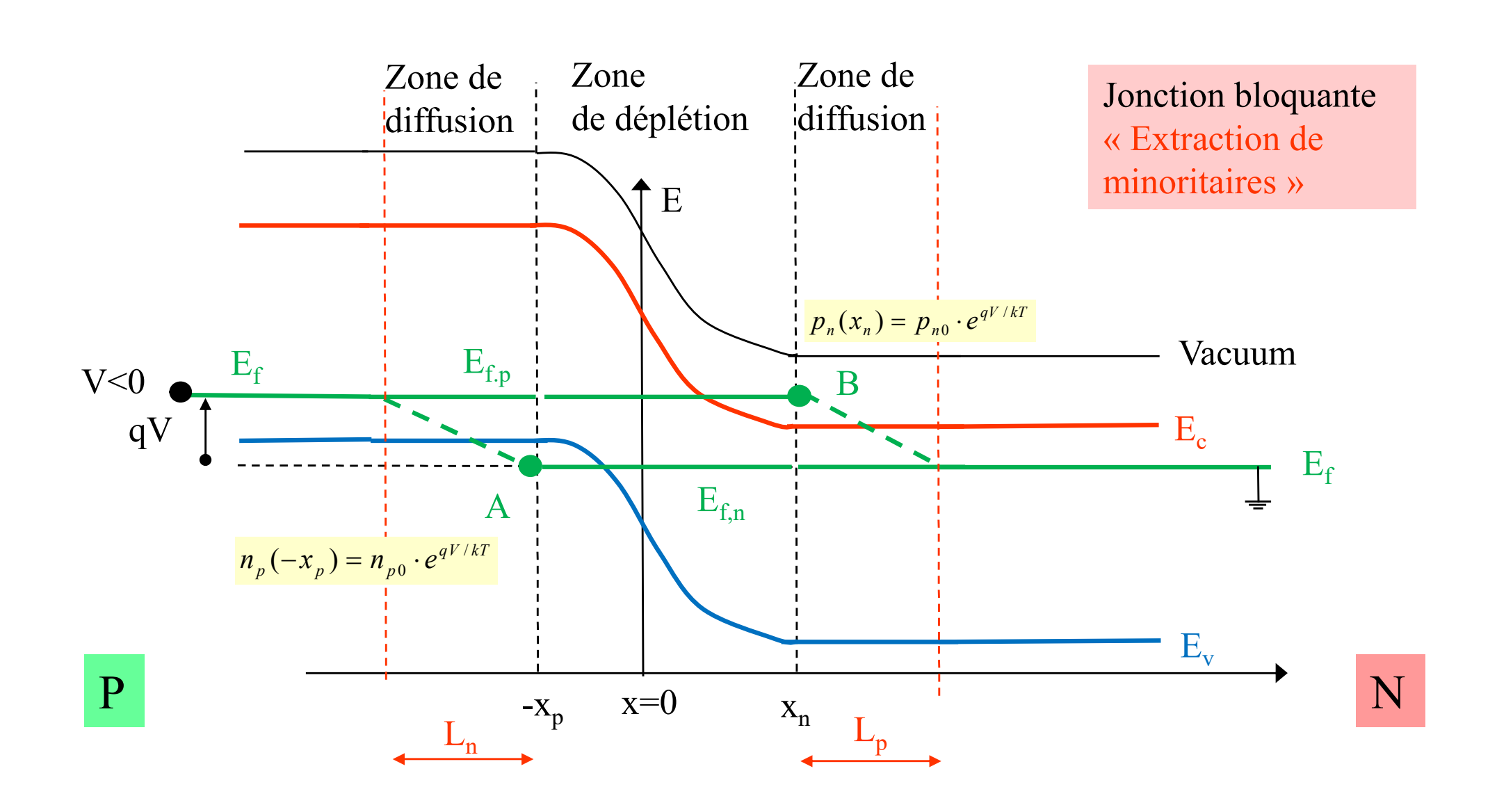


# Quasi-niveaux de Fermi: jonction passante



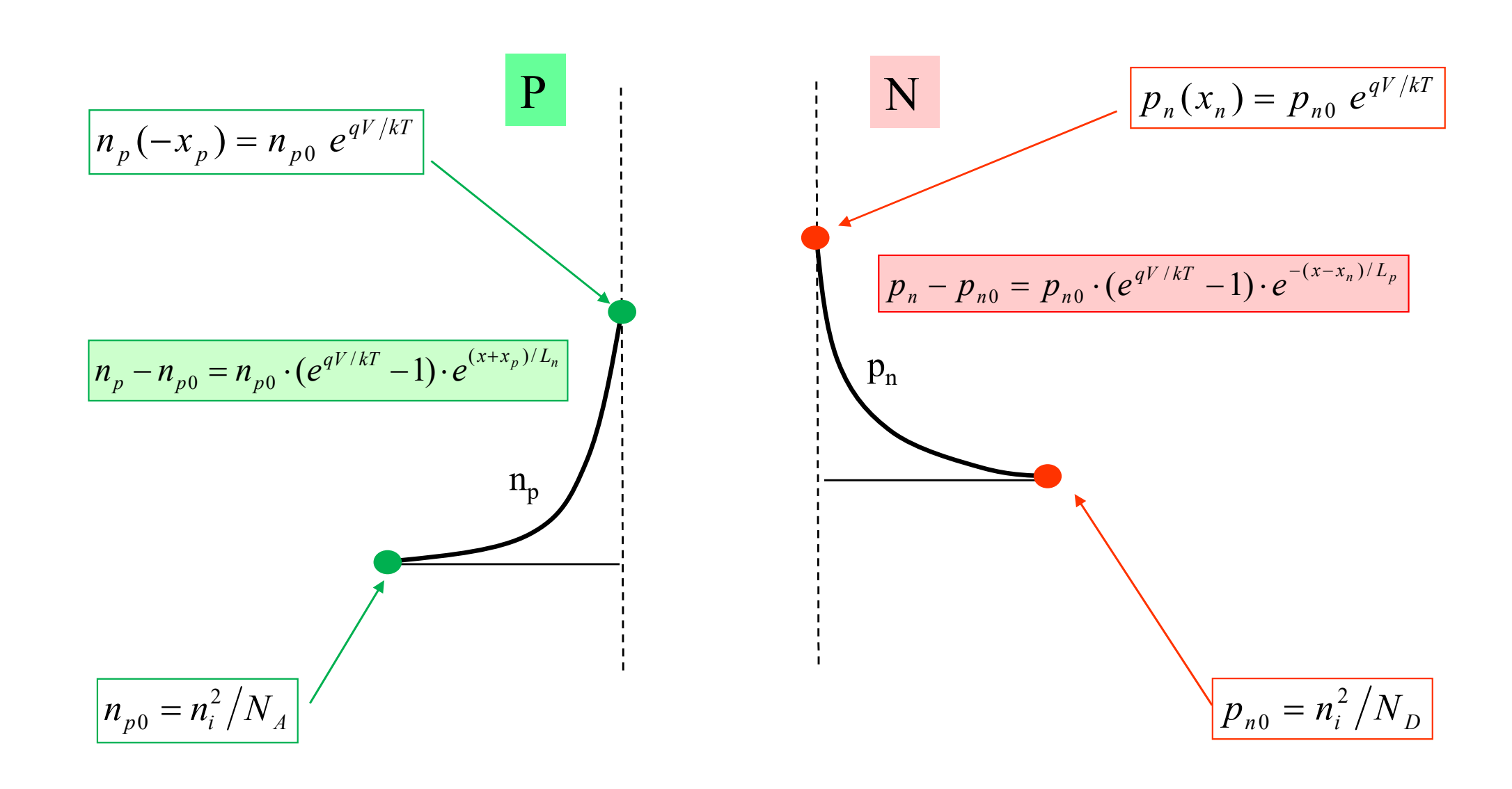


# Quasi-niveaux de Fermi: jonction bloquante





### Diode p/n: densité des minoritaires Jonction passante





### Diode p/n: densité des minoritaires Jonction bloquante

P

$$n_{p} = n_{p0} + n_{p0} \cdot (e^{qV/kT} - 1) \cdot e^{(x+x_{p})/L_{n}}$$

$$\approx n_{p0} \left(1 - e^{(x+x_{p})/L_{n}}\right)$$

$$n_{p0} = n_i^2 / N_A$$

$$n_p$$

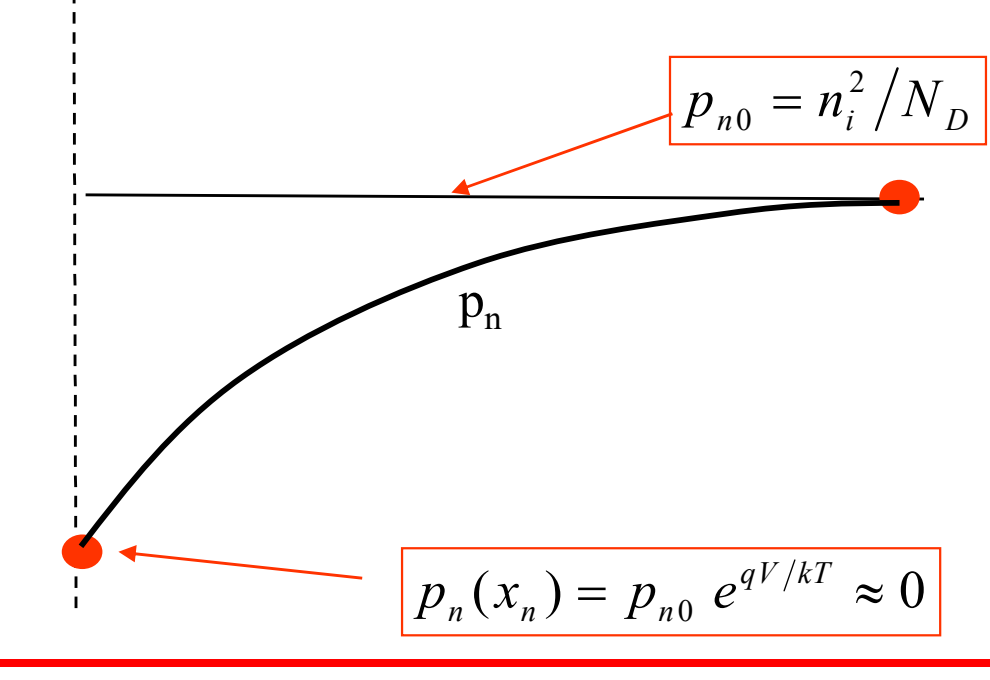
$$n_p$$

$$n_p(-x_p) = n_{p0} e^{qV/kT} \approx 0$$

N

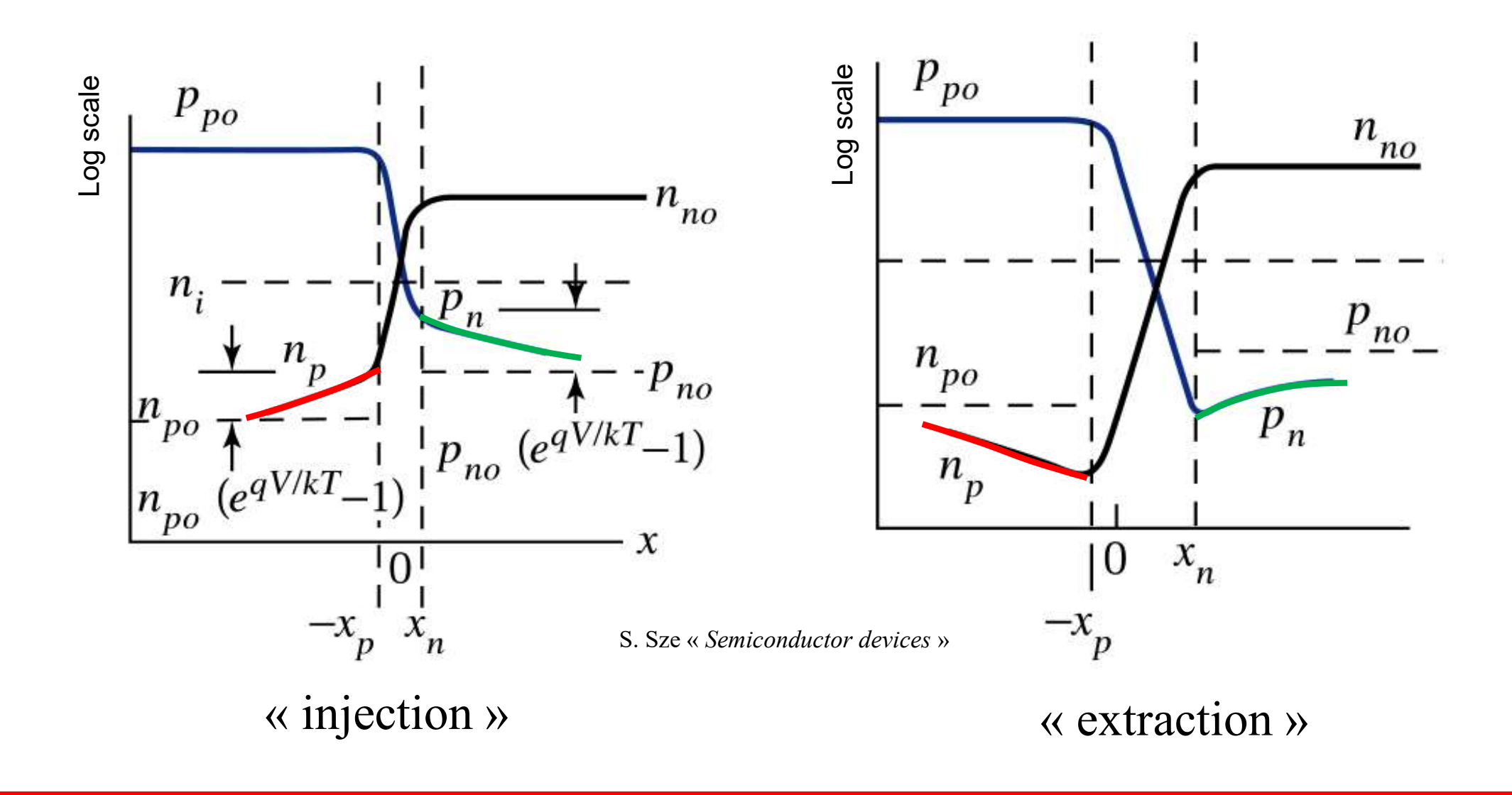
$$p_{n} = p_{n0} + p_{n0} \cdot (e^{qV/kT} - 1) \cdot e^{-(x - x_{n})/L_{p}}$$

$$\approx p_{n0} \left( 1 - e^{-(x - x_{n})/L_{p}} \right)$$





### Exemples: densité de charges libres



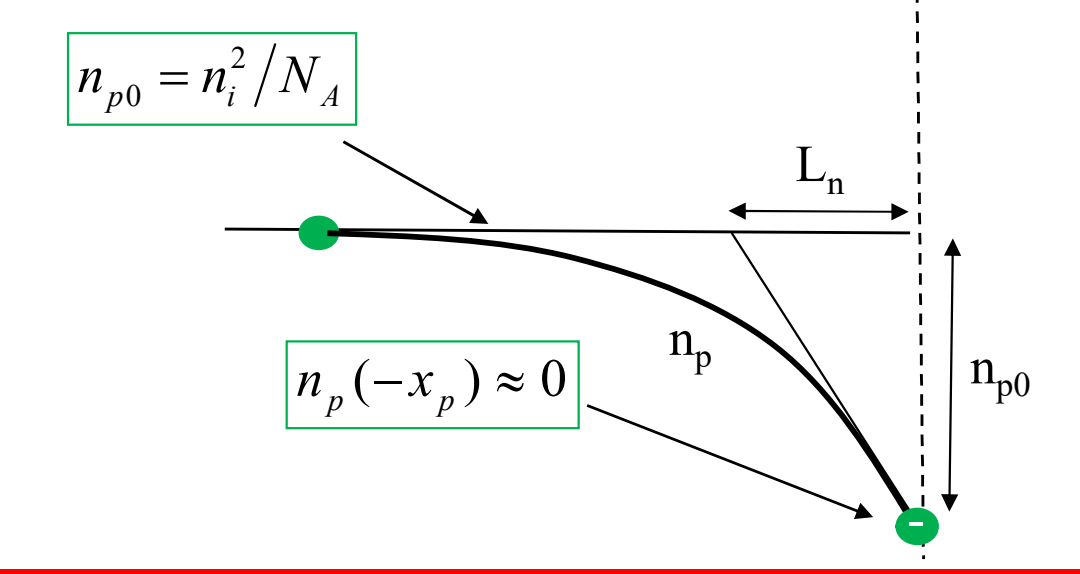


# Diode p/n: **Jonction bloquante** densité des minoritaires

## Courant de diffusion des minoritaires

$$\left| J_n = qD_n \frac{dn_p}{dx} \right|_{-x_p} \approx -J_{sn}$$

$$J_{sn} = qD_n \frac{n_{p0}}{L_n} = \frac{qD_n n_i^2}{L_n N_{A,p}}$$

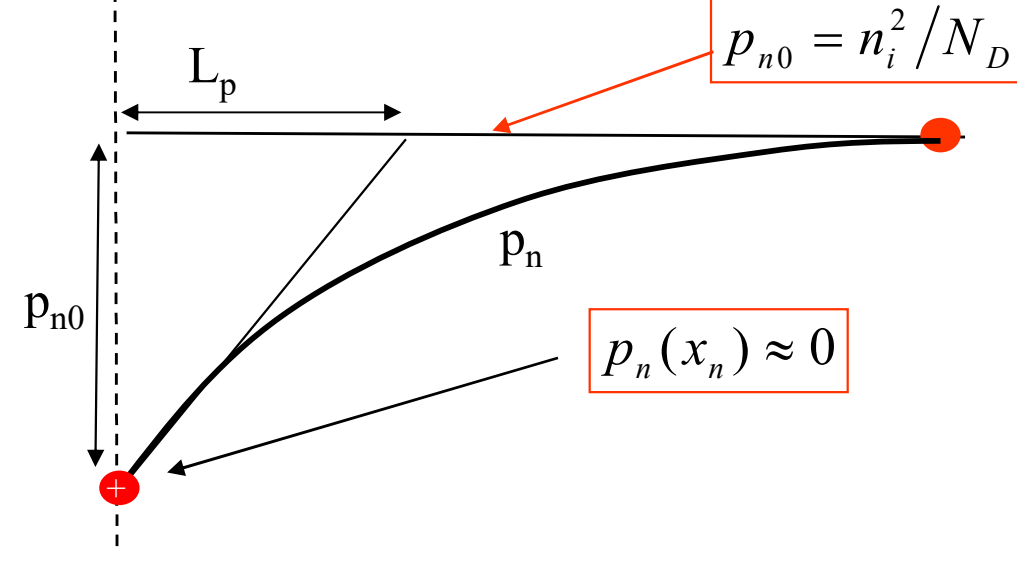


## N Courant de diffusion des minoritaires

$$\left| \boldsymbol{J}_{p} = -q\boldsymbol{D}_{p} \, \frac{d\boldsymbol{p}_{n}}{d\boldsymbol{x}} \right|_{\boldsymbol{x}_{n}} \approx -\boldsymbol{J}_{sp}$$

$$J_{sp} = qD_{p} \frac{p_{n0}}{L_{p}} = \frac{qD_{p}n_{i}^{2}}{L_{p}N_{D,n}}$$

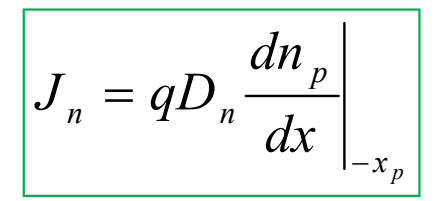
Composants semi-conducteurs, 2024

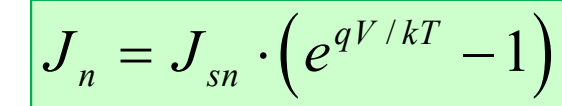


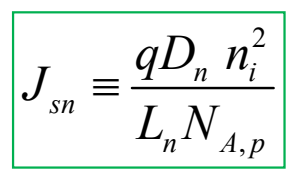


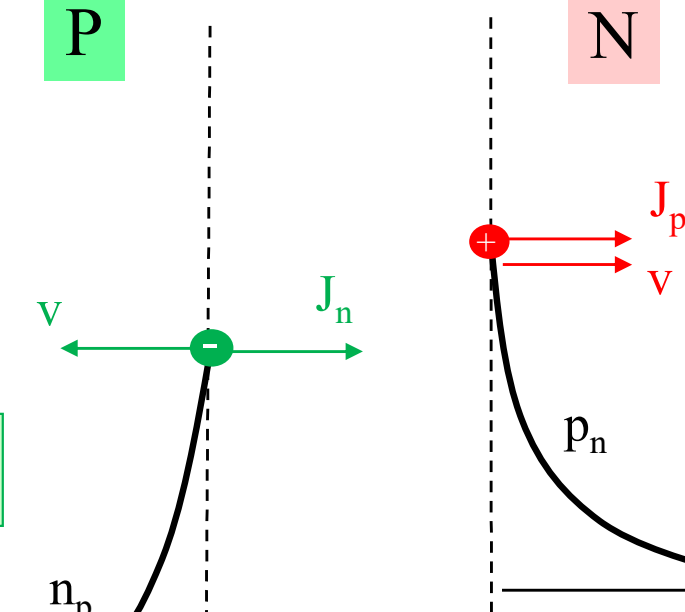
## Diode p/n: **Jonction passante** courants de diffusion des minoritaires











### Courant de diffusion des minoritaires

$$J_p = -qD_p \frac{dp_n}{dx} \bigg|_{x_n}$$

$$J_p = J_{sp} \cdot \left( e^{qV/kT} - 1 \right)$$

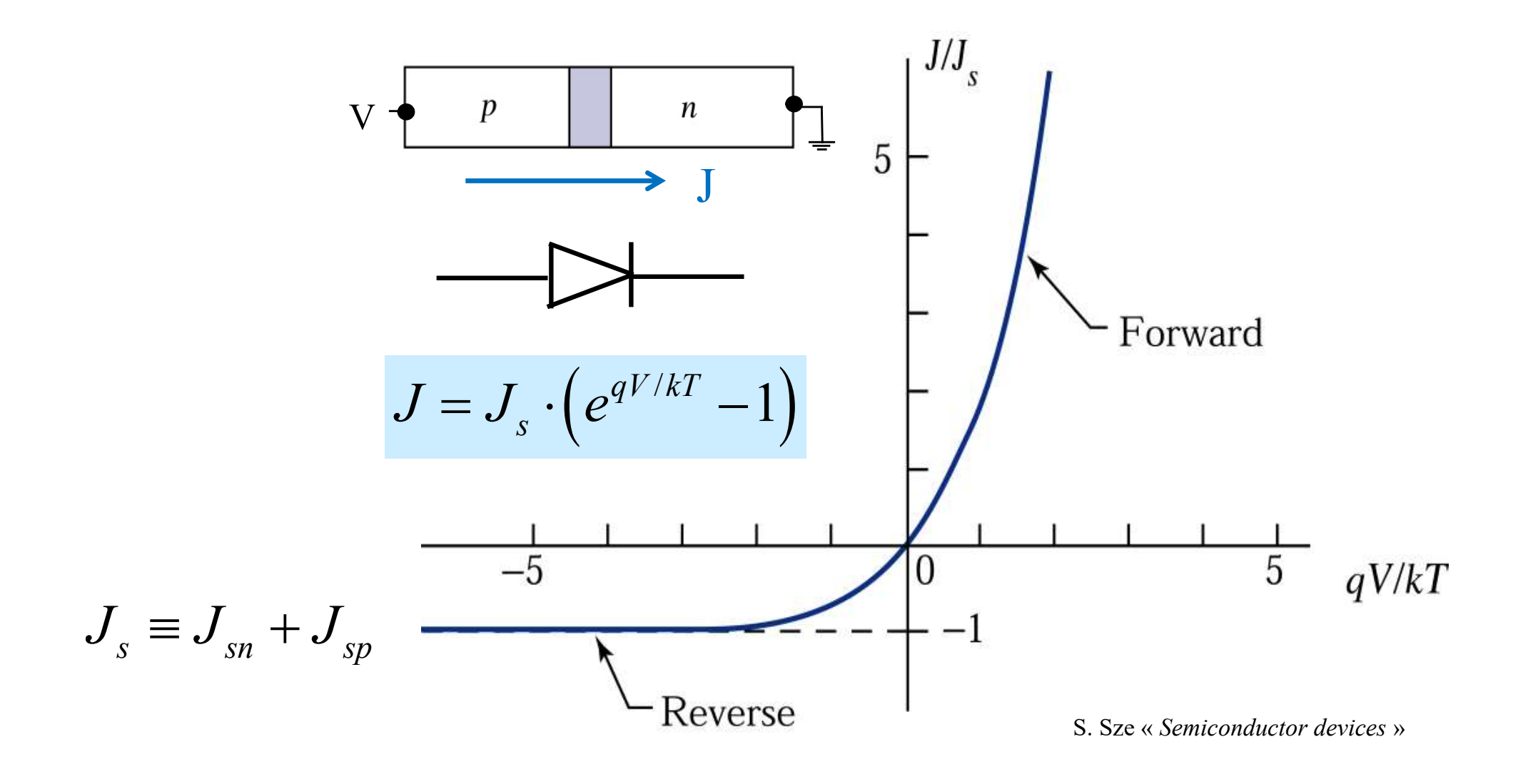
#### Courant idéal total

$$J = (J_{sn} + J_{sp}) \cdot \left(e^{qV/kT} - 1\right)$$

$$J_{sp} \equiv \frac{qD_p \ n_i^2}{L_p N_{D,n}}$$



#### Caractéristique courant/tension idéale





### Capacité de diffusion

Les minoritaires sont stockés dans les deux zones de diffusion. Les charges totales stockées sont:

$$\frac{Q_n}{A} = -q \cdot \int_{-\infty}^{-x_p} (n_p - n_{p0}) \cdot dx = -q \cdot n_{p0} \left( e^{qV/kT} - 1 \right) \cdot L_n$$

$$\frac{Q_p}{A} = q \cdot \int_{x_n}^{\infty} (p_n - p_{n0}) \cdot dx = q \cdot p_{n0} \left( e^{qV/kT} - 1 \right) \cdot L_p$$

La capacité de diffusion est donc:

$$C_{d} \equiv \left| \frac{dQ_{n}}{dV} \right| + \left| \frac{dQ_{p}}{dV} \right| \qquad \cong \qquad A \cdot \frac{q^{2}}{kT} \cdot \left( L_{n} n_{p0} + L_{p} p_{n0} \right) \cdot e^{qV/kT}$$



#### Diode pn réelle:

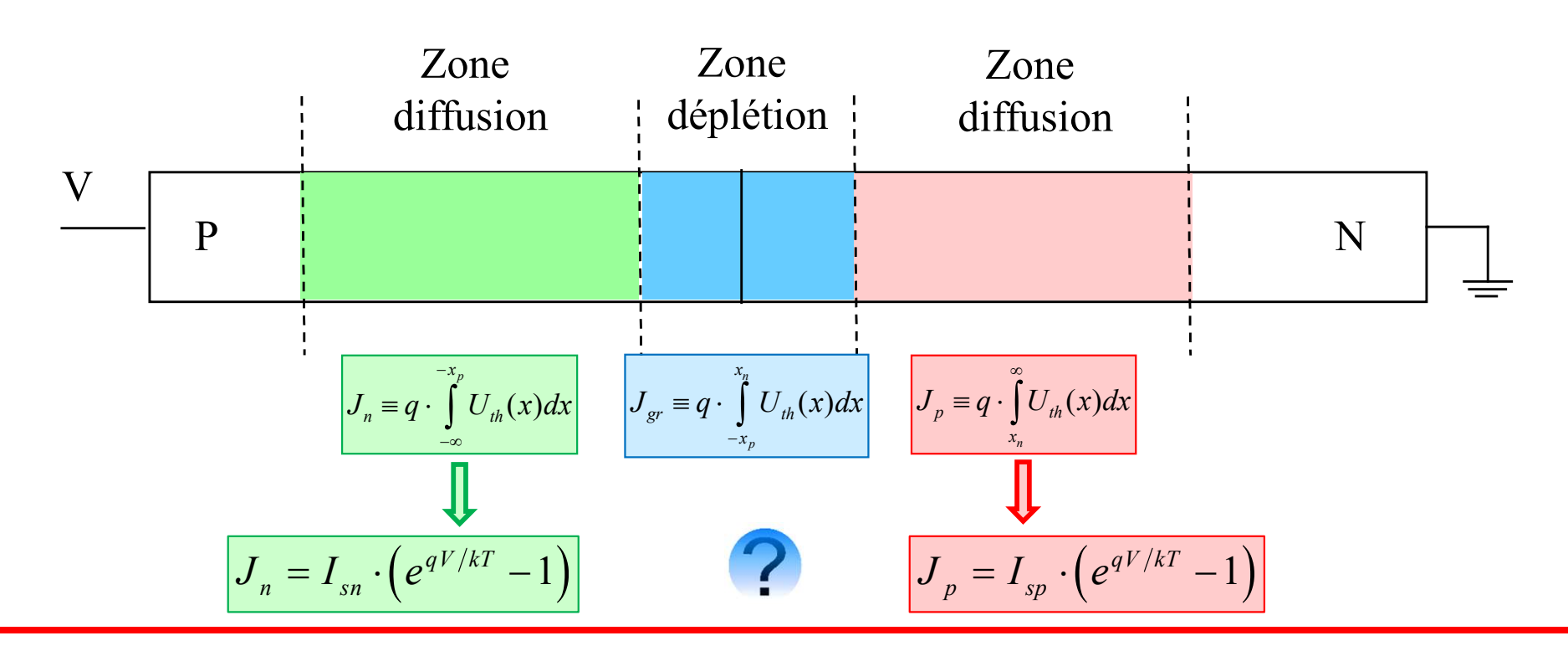
#### courants de génération/recombinaison

#### Diode pn en silicium en mode bloquant (V<0.7V):

La génération/recombinaison dans la zone de déplétion n'est pas négligeable.

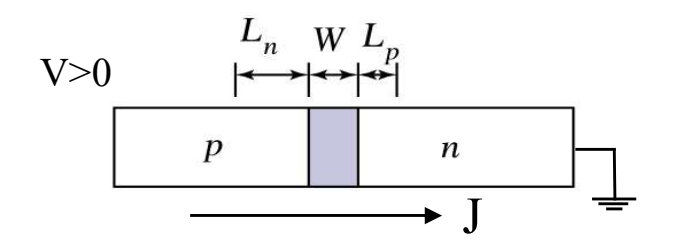


Nouveau modèle: intégration du taux net de recombinaison.





# Courant de génération/recombinaison dans la zone de déplétion



S. Sze « Semiconductor devices »

$$J_{gr} = q \cdot \int_{-x_p}^{x_n} U_{th}(x) dx \cong q \cdot U_{th}(0) \cdot W$$

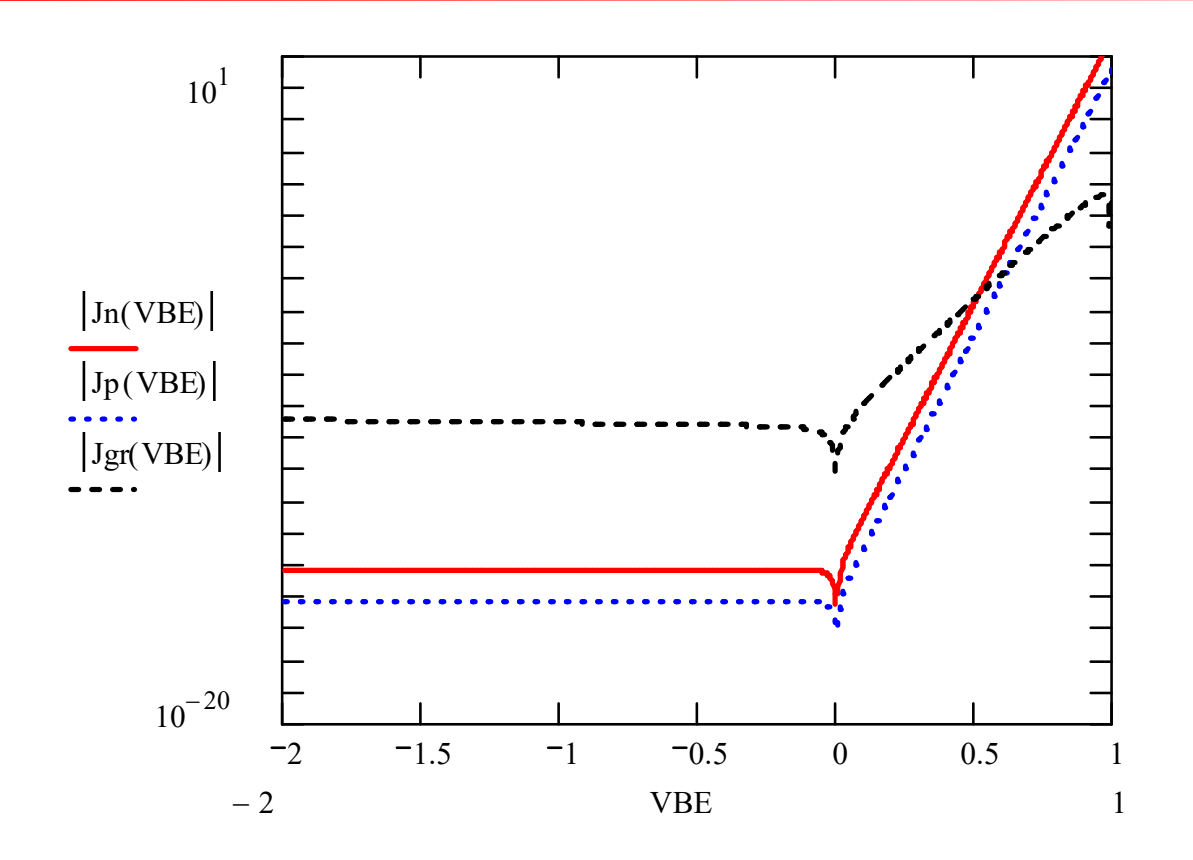
$$U_{th} \cong \frac{1}{\tau} \cdot \left( \frac{np - n_i^2}{n + p + 2n_i} \right)$$

Pour x=0: 
$$np = n_i^2 e^{qV/kT}$$
  $\Rightarrow$   $n = p = n_i \cdot e^{qV/2kT}$ 

$$J_{gr} \cong J_{s,gr} \cdot \left(e^{qV/2kT} - 1\right)$$
 avec  $J_{s,gr} \equiv q \cdot \frac{n_i}{2\tau} \cdot W(V)$ 



## Exemple: diode p/n silicium



$$N_D = 10^{19} cm^{-3}$$
 $N_A = 4 \cdot 10^{17} cm^{-3}$ 
 $D_n = 6 cm^2 / s$ 
 $D_p = 2 cm^2 / s$ 
 $L_n = 15.5 \mu m$ 
 $L_p = 2 \mu m$ 
 $\tau = 1 \mu s$ 

#### Le courant de diffusion des minoritaires domine pour V>0.7V

Le courant de gen./rec. dans la zone de déplétion est important pour V<0.7V





## Circuit équivalent: pour petits signaux

#### Conductance différentielle

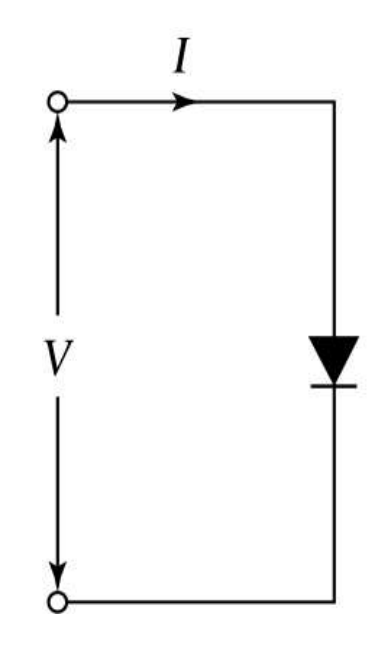
$$G \equiv \frac{d(A \cdot J)}{dV} \cong \frac{q}{kT} \cdot (I + I_s)$$

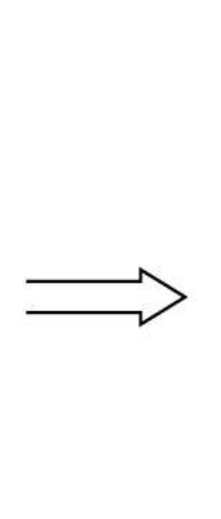
<u>Capacité</u> <u>de jonction</u>

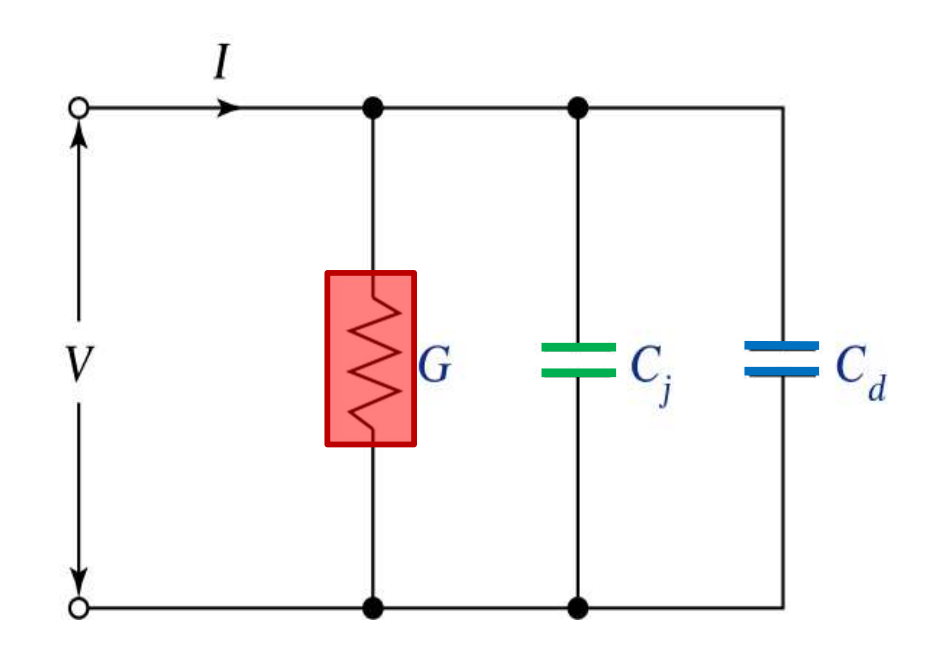
$$C_j = A \cdot \frac{\mathcal{E}_0 \mathcal{E}}{W}$$

<u>Capacité</u> <u>de diffusion</u>

$$C_d \cong A \cdot \frac{q^2}{kT} \cdot \left( L_n n_{p0} + L_p p_{n0} \right) \cdot e^{qV/kT}$$





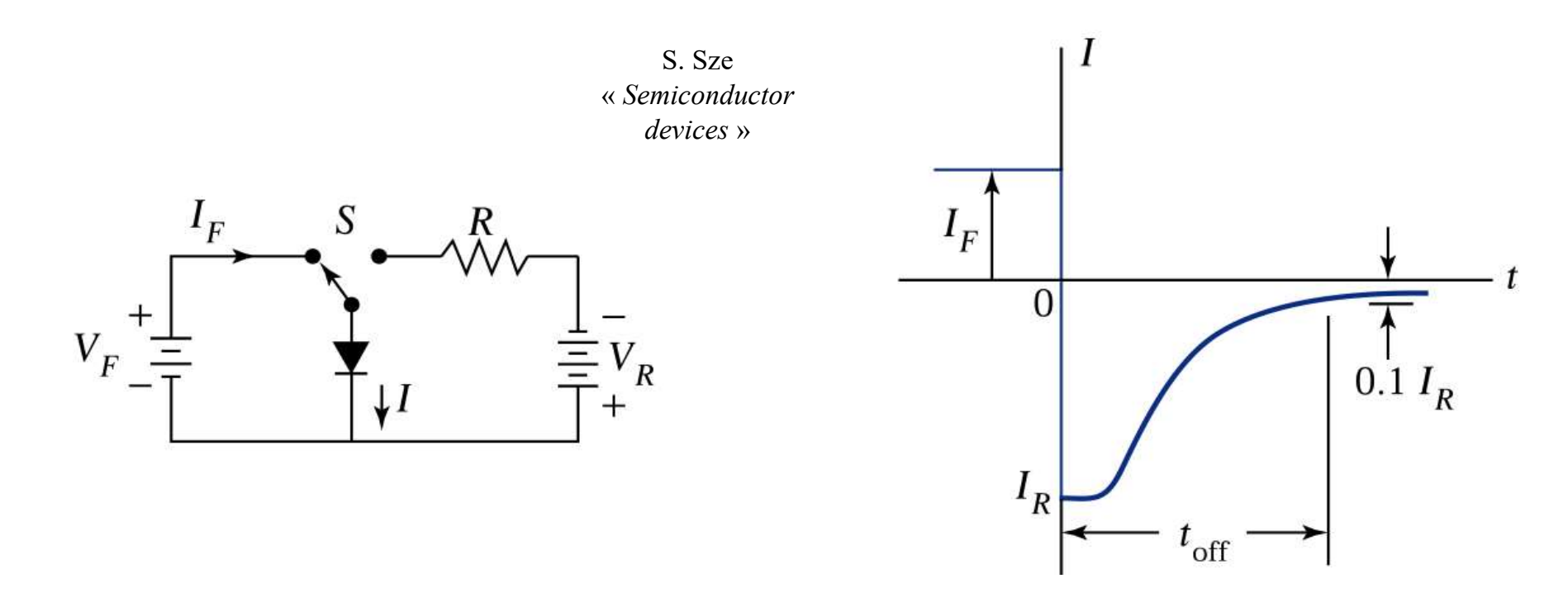


S. Sze « Semiconductor devices »



# Diode: caractéristique de switch grand signal

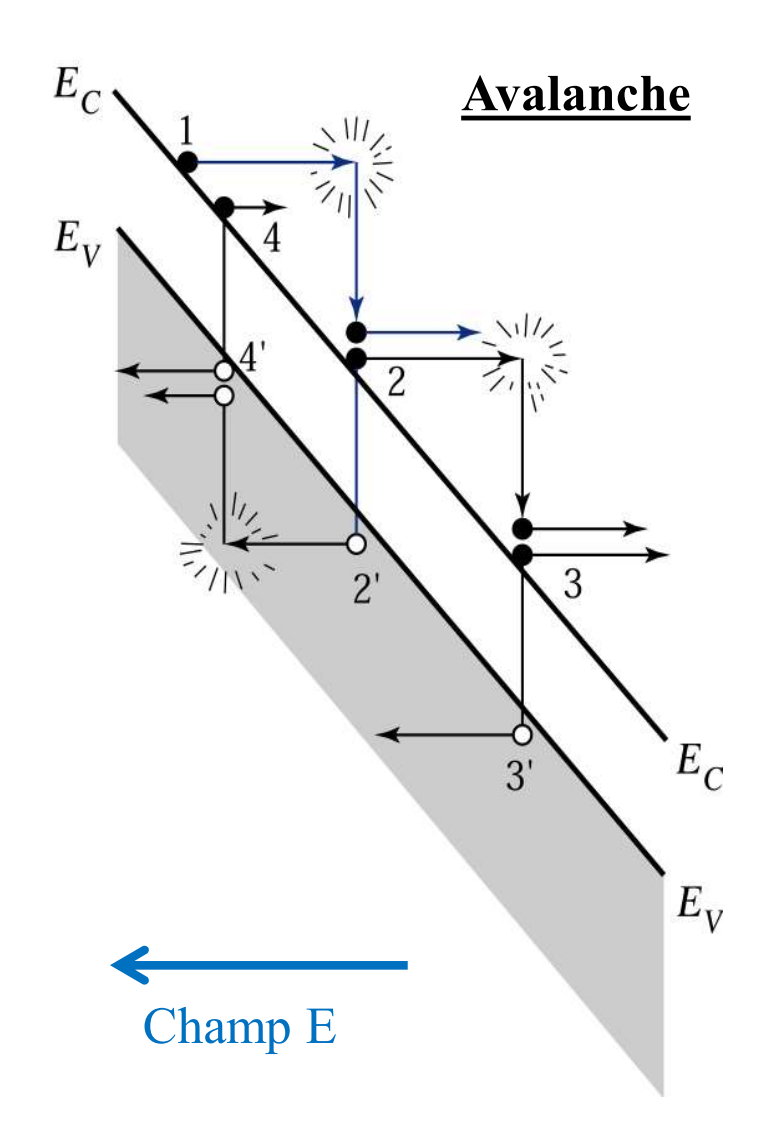
#### Diode pn: temps de vie élevé des minoritaires



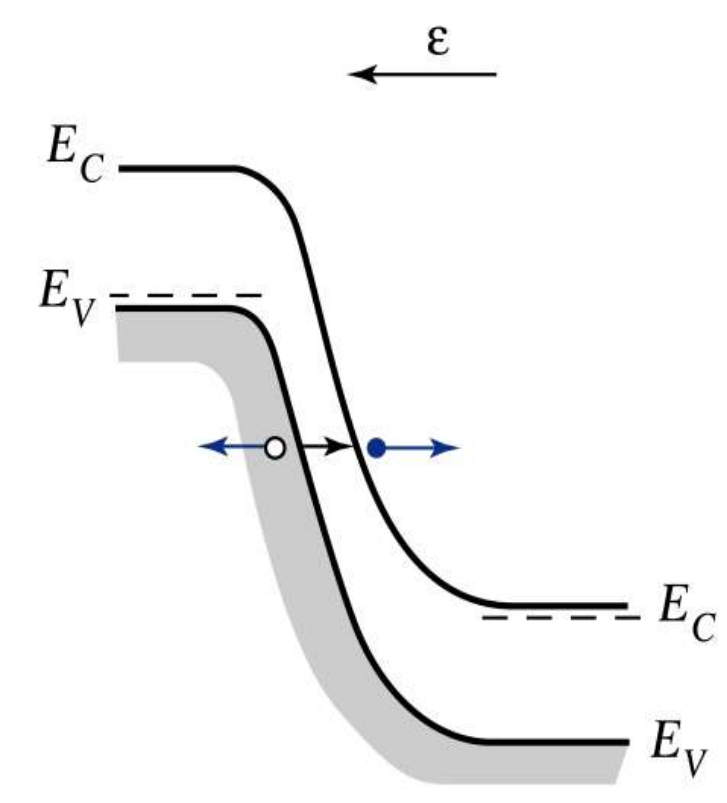
 $T_{\rm off}$  (p-n junction)  $\approx 1 \mu s >> Toff$  (Schottky diode)  $\approx 1 n s$ 



### Breakdown



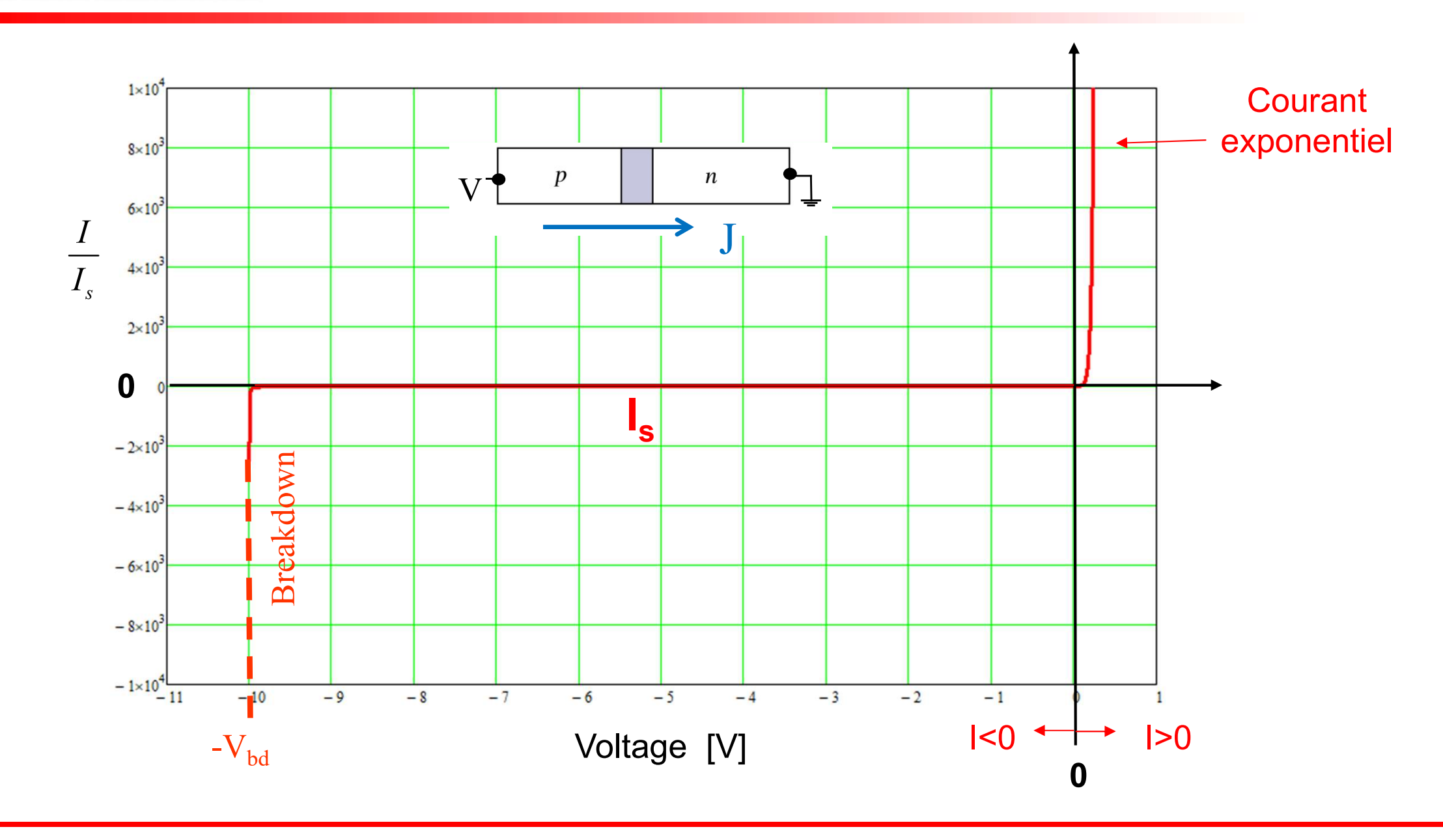
S. Sze « Semiconductor devices »



Effet « Band-to-band tunneling » (Zener effect)

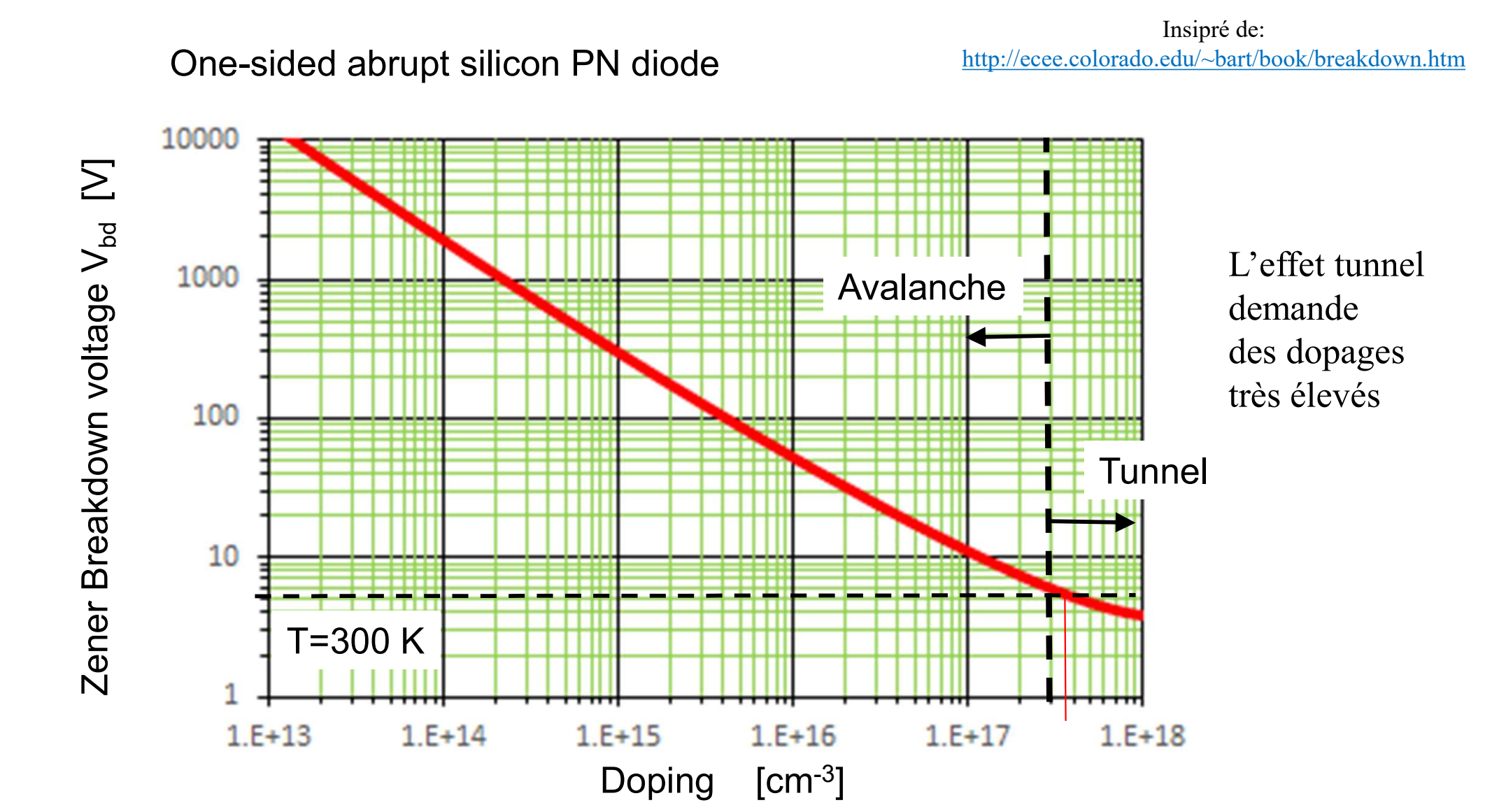


# Caractéristique courant/tension



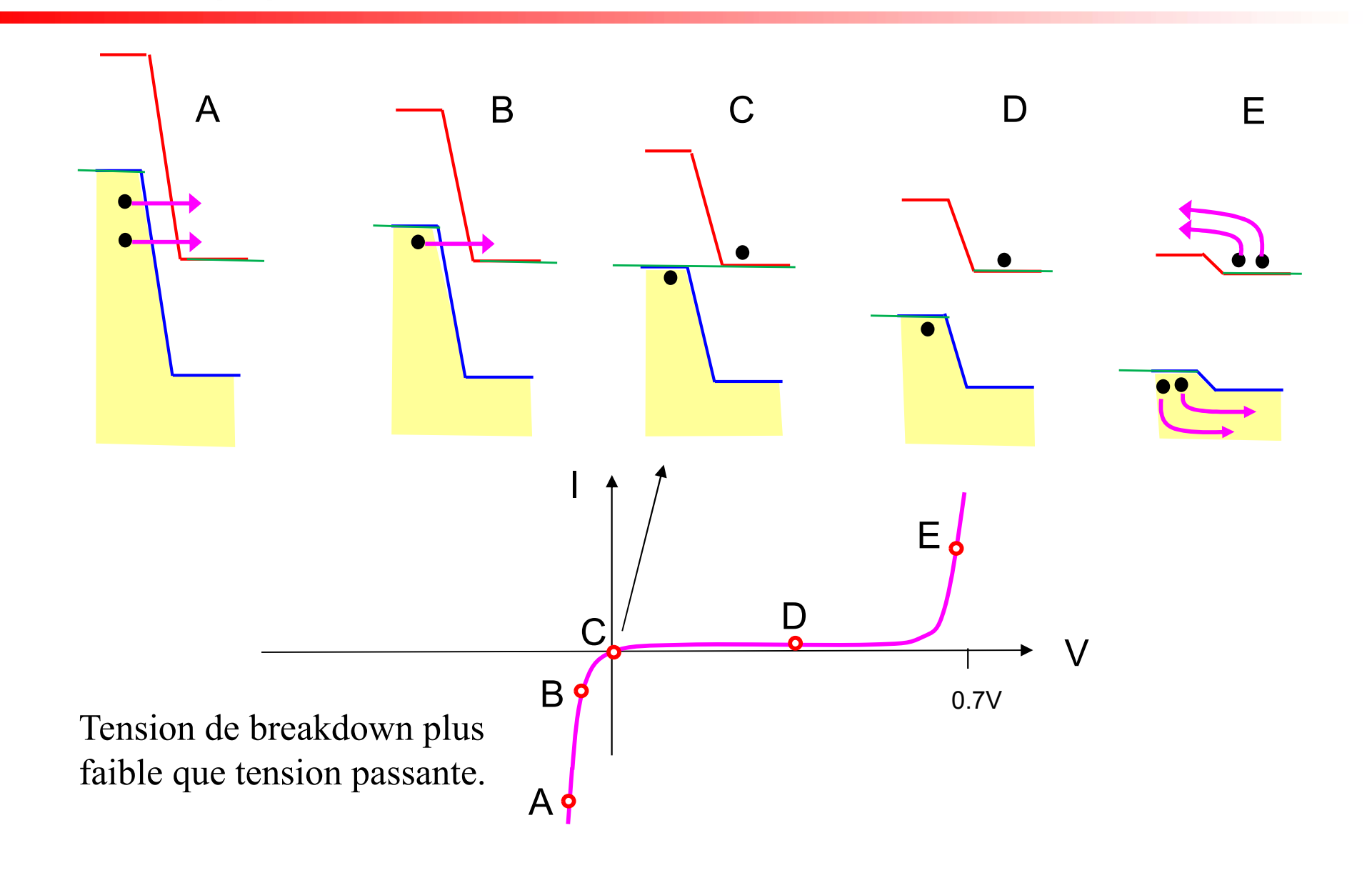


#### Breakdown: diode Zener



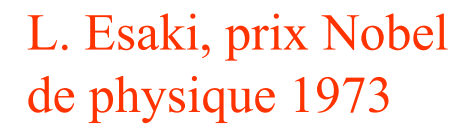


## Diode Backward

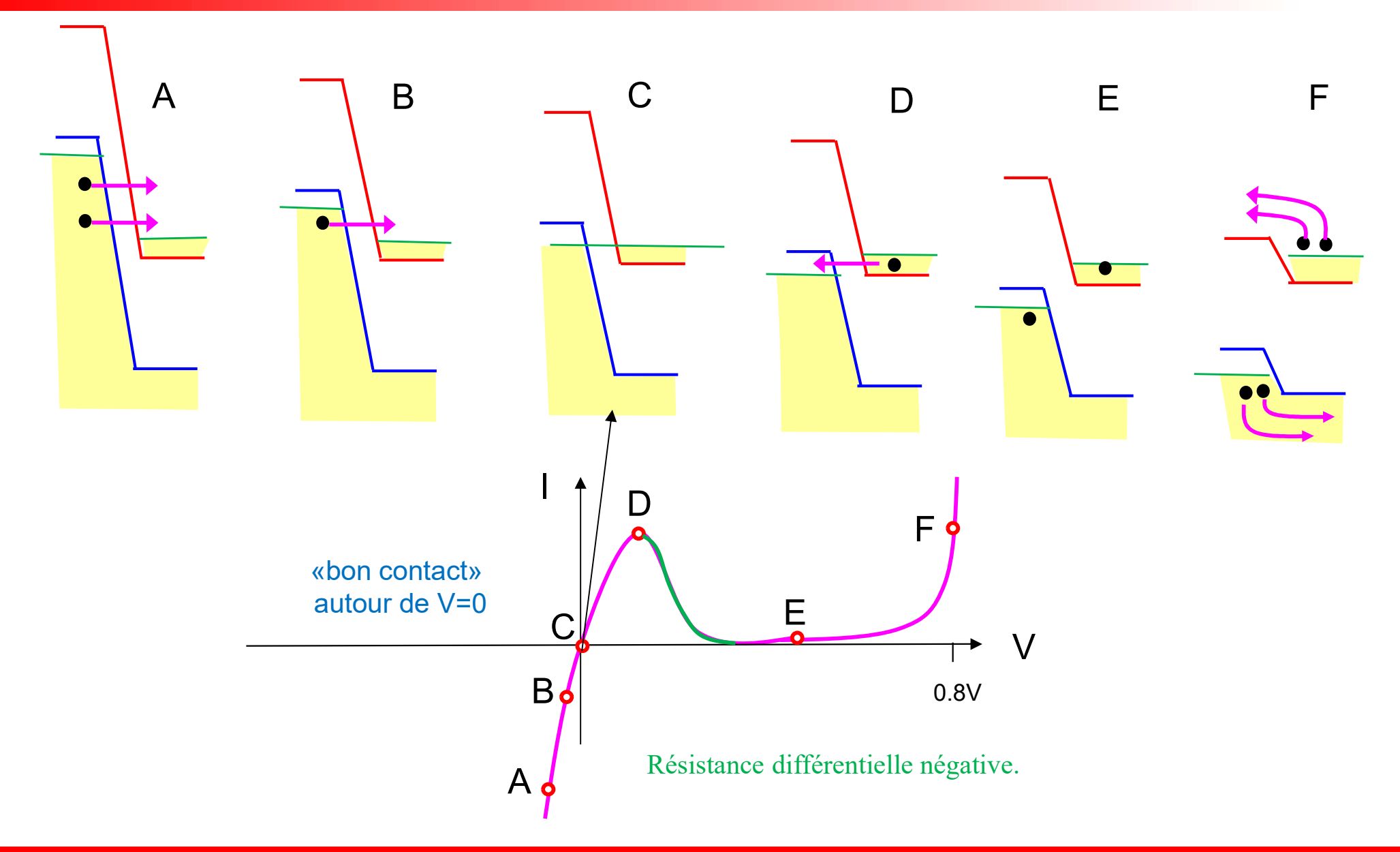




## Diode tunnel

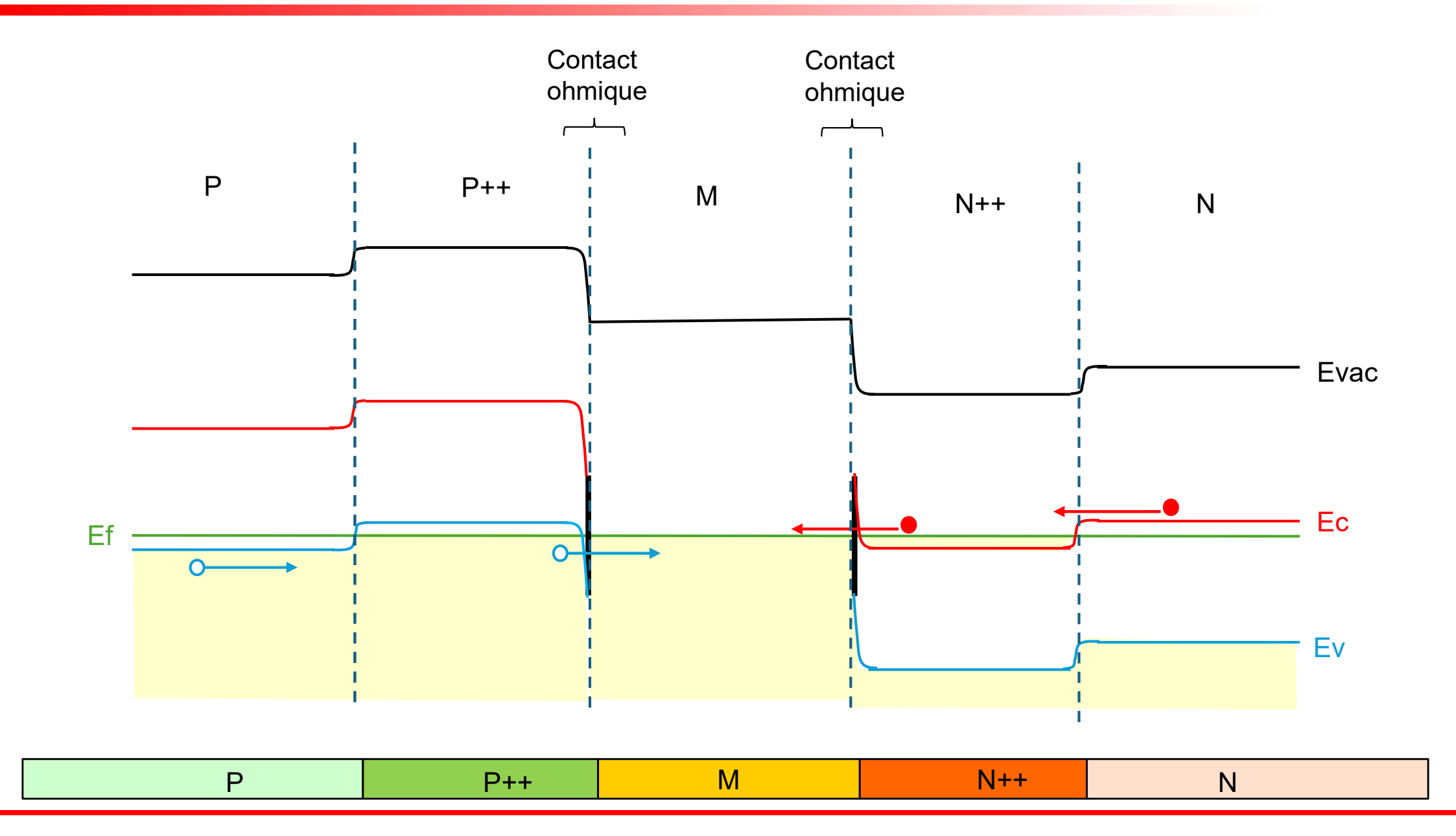








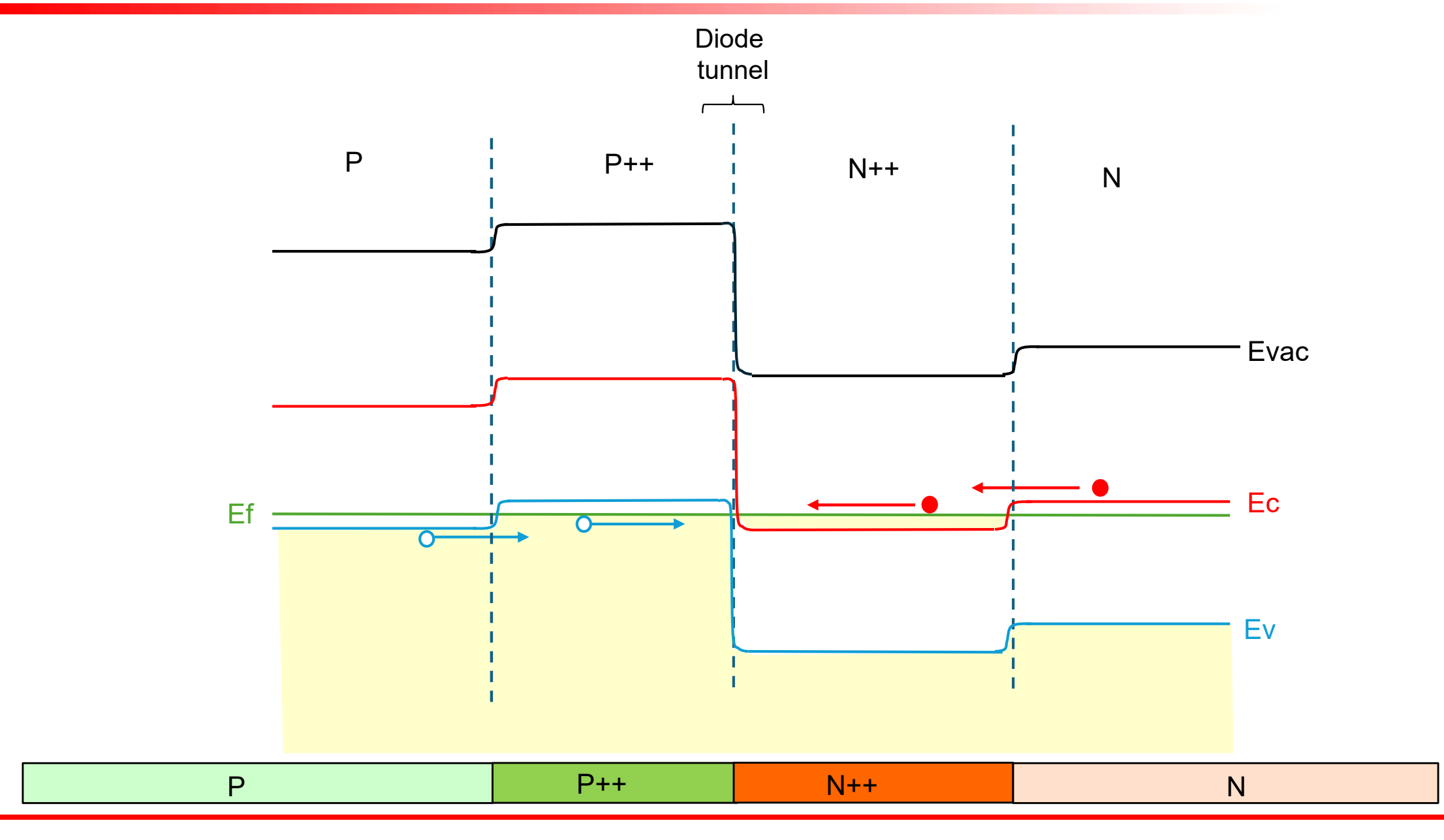
# Contact ohmique PN standard: P<sup>++</sup> / Métal / N<sup>++</sup>





# Contact ohmique PN:

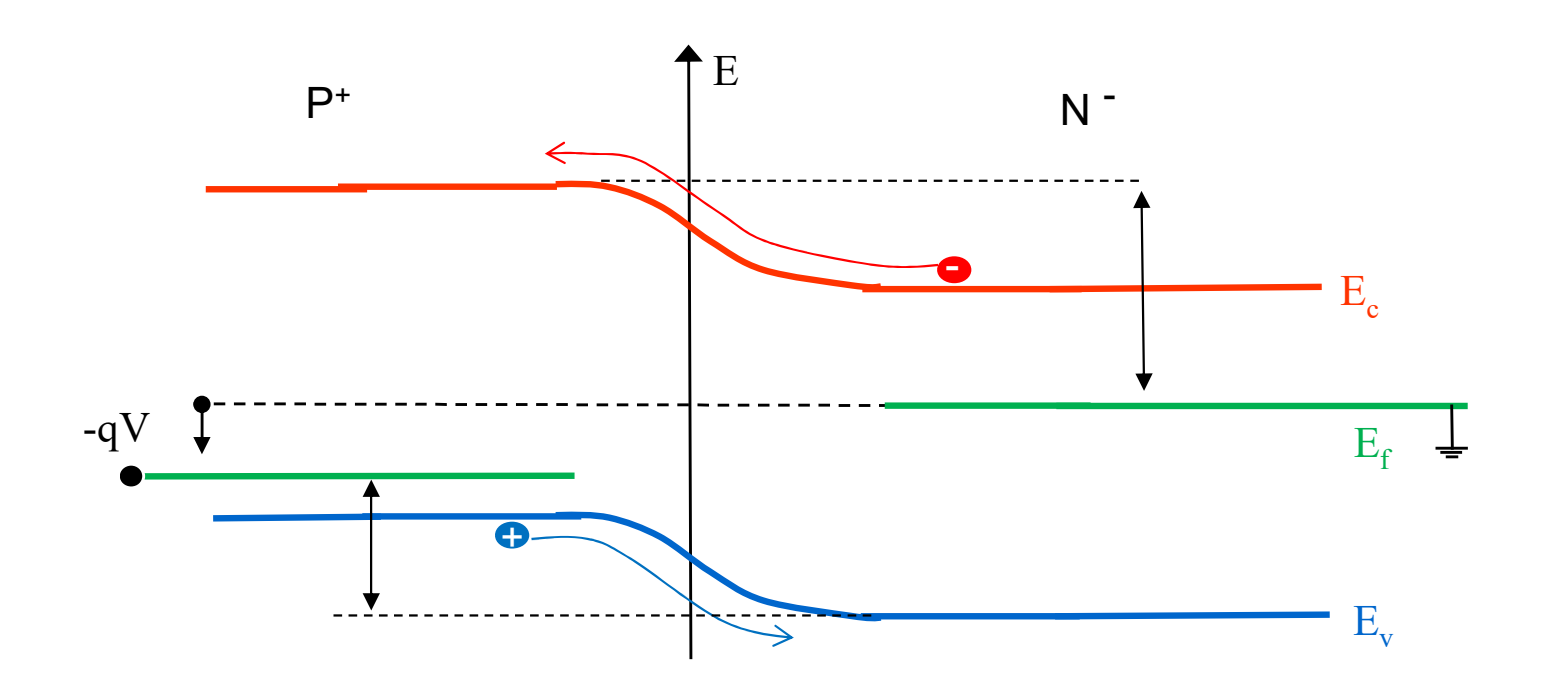
 $P^{++}/N^{++}$ 





# Exercice E6.1: diode p<sup>+</sup>/n<sup>-</sup>, passante



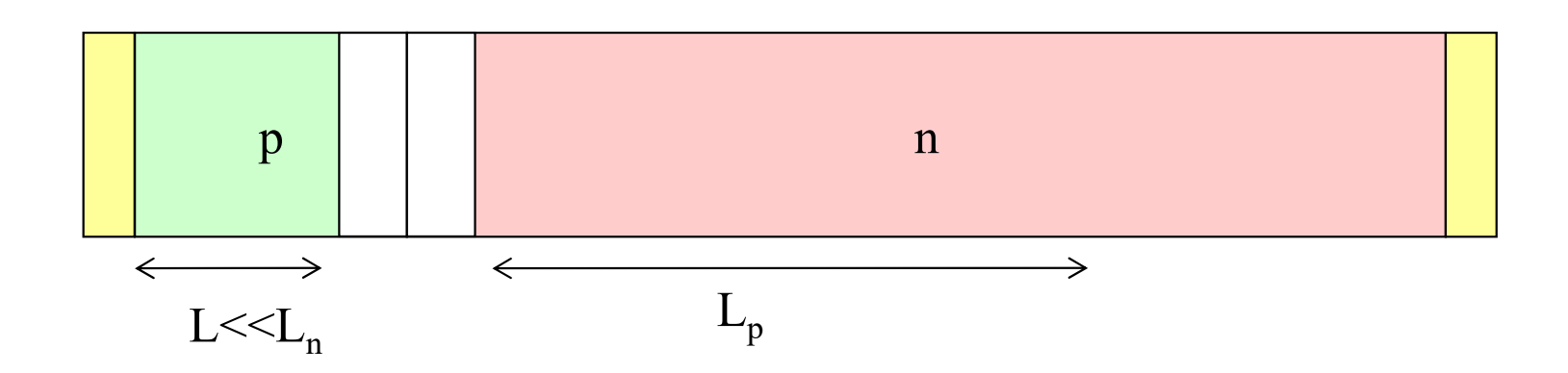


En mode passant, le courant dans la jonction est-il dominé par des électrons ou par des trous ?



## Exercice E6.2: jonctions courtes





Les courants de diffusion des minoritaires sont obtenus en calculant le gradient des concentrations de minoritaires.

Celles-ci sont calculées en résolvant les équations de continuité avec deux conditions aux bords.

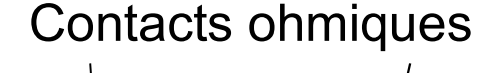
Supposons que ces deux conditions ne varient pas.

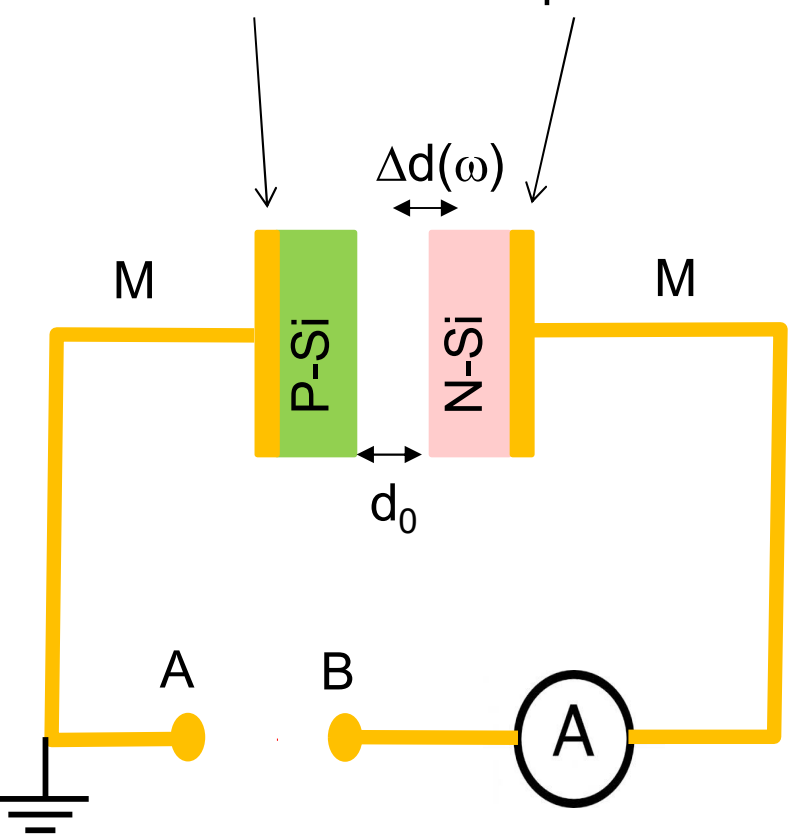
-Que se passe-il si la zone P devient nettement plus courte que la longueur de diffusion des électrons Ln ?



#### Exercice E6.3: Tension de built-in







$$\phi_m = \chi_s + \frac{E_g}{2}$$

- 1) Lorsque les plaques de silicium se touchent  $(d_0=0)$ :
  - Esquissez le schéma de bande
  - Quelle est la tension au point B?
- 2) Les points A et B sont court-circuités.
  - Esquissez le schéma de bande pour  $d_0 > 0$
  - Comment varient la tension et les charges à l'interface P-Si/N-Si en fonction de la distance d<sub>0</sub> ?
- 3) La distance  $d_0$  est fixée et on ajoute une petite variation  $\Delta d$  à fréquence  $\omega$ .
  - Montrez qu'un courant apparait à fréquence ω, les points A et B étant toujours court-circuités.
- 4) Une tension –V<sub>bi</sub> est imposée au point B.
  - Esquissez le schéma de bande.
  - Montrez que le courant disparait, la variation  $\Delta d(\omega)$  étant toujours appliquée.